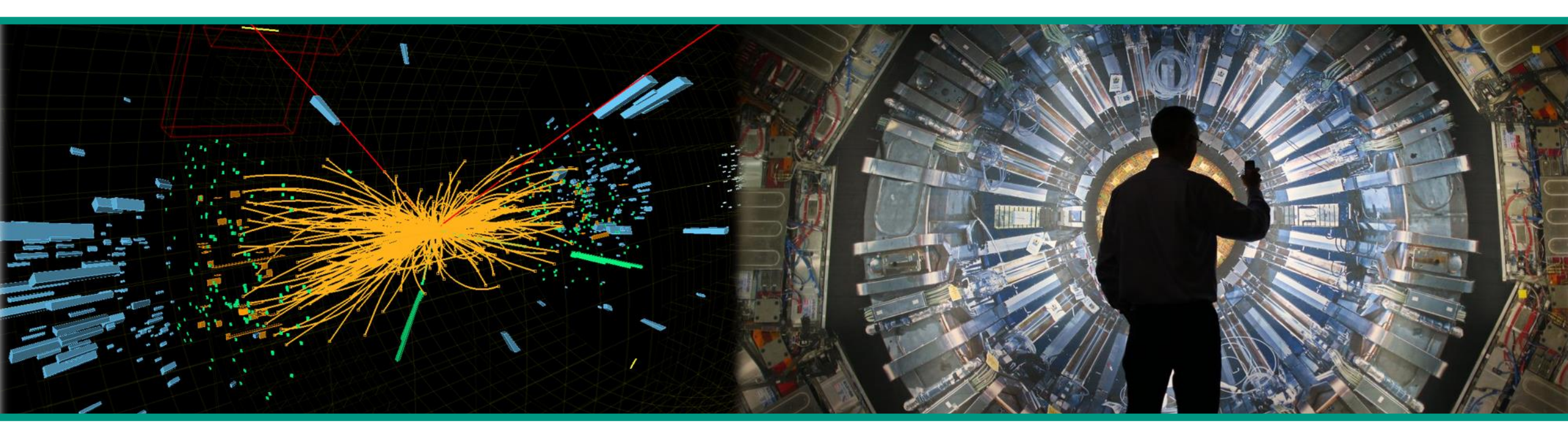


Moderne Experimentalphysik III – Teilchen und Hadronen

Vorlesung 12 6.6.2023



Recap: Diskrete Symmetrien -I



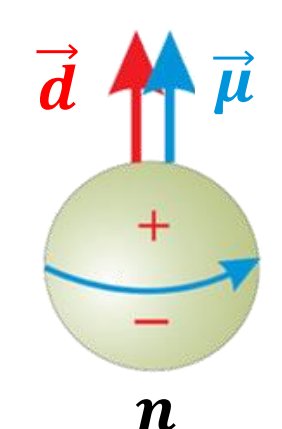
- Parität P, Händigkeit Helizität bzw. Chiralität
 - CPT Theorem: CPT einzig mögliche exakte Symmetrie
 - Eigenparität P: Fermionen P=+1, Anti-Fermionen P=-1Photon: $P(\gamma)\equiv -1$, Mesonen $P(q\overline{q})=(-1)^{\ell+1}$ pseudoskalar (π,η,K) mit Spin =0 $(\uparrow\downarrow)$, $\ell=0 \Rightarrow J^P=0^$ vektoriell (ρ,ω,ϕ) mit Spin =1 $(\uparrow\uparrow)$, $\ell=0 \Rightarrow J^P=1^-$
 - Helizität $h = \vec{S} \cdot \vec{p} / |\vec{S}| \cdot |\vec{p}|$ Projektion Spin auf Impuls, nicht Lorentz-invariant
 - Chiralität $\Psi_{L,R}=\frac{1}{2}\cdot (1\pm \gamma^5)\Psi$ Projektionsoperatoren auf **Spinoren**, schwache Ladung von Teilchen, Lorentz-invariant

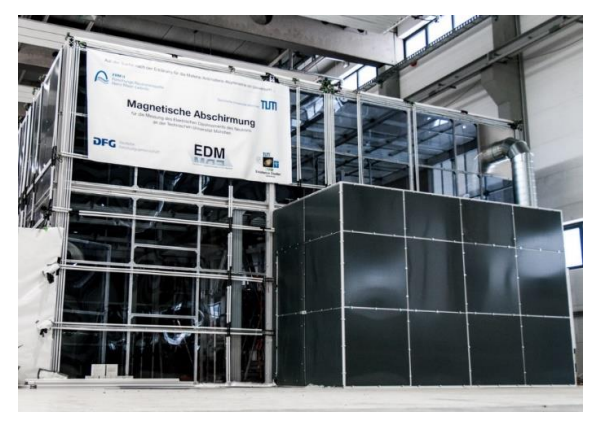
Recap: Diskrete Symmetrien – *II*



■ Ladungskonjugation *C*, Zeitumkehr *T* & *nEDM*

- Ladungskonjugation C: Änderung aller Ladungs-artigen Zahlen Q, B, L
- Eigenzustände: Photon $C \ket{\gamma} = -1 \ket{\gamma}$, neutrales Pion $C \ket{\pi^0} = +1 \ket{\pi^0}$
- Mesonen: $C|q\overline{q}\rangle = -1^{\ell+s}$
- Zeitumkehr-Invarianz T verletzt, wenn $nEDM \neq 0$
- stringente experim. Obergrenzen weit unterhalb
 des QCD erlaubten Bereichs
- Ursache: *U*(1) Symmetrie
 spontan gebrochen bei hoher Energie ⇒ Axion?





Mod. Ex. Phys. III VL 12

Q: American IOP, nobelprize, pintere

Paritätsverletzung: Vorzugsrichtung bei β –Zerfall \bigcirc



■ Team-1: Test der Paritäts-Verletzung mit polarisierten Co - 60 Kernen

VOLUME 104. NUMBER 1

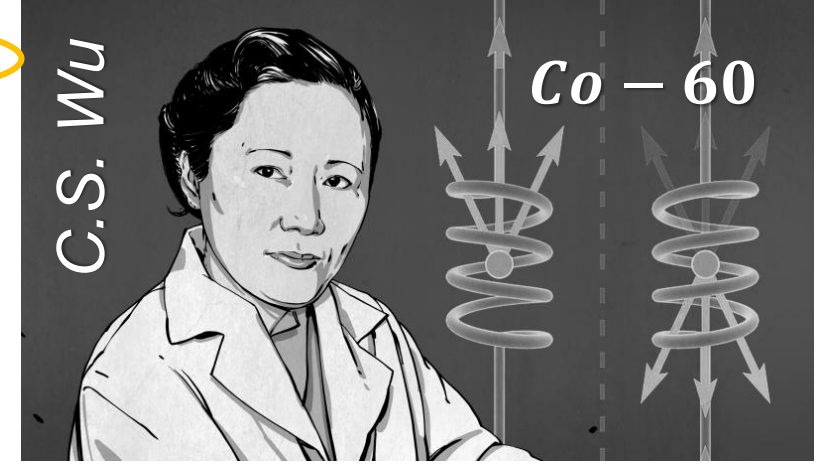
OCTOBER 1, 1956

Question of Parity Conservation in Weak Interactions*

T. D. Lee, Columbia University, New York, New York







Weihnachten 1956: los geht's

Madame Wu & ihr Team

 $ec{m{J}}_{Kern} \cdot \overrightarrow{m{p}}_{m{e}}$

...wir messen den Erwartungs-Wert eines **Pseudoskalars**im Kern – β –Zerfall !...

24.12.1956! weitere Tests 2.1 - 8.1.1957

Pa

Paritätsverletzung: Pion-Zerfall – in μ^+ bzw. e^+



■ Team-2: Test der Paritäts-Verletzung beim Pionzerfall am Zyklotron

VOLUME 104. NUMBER 1

OCTOBER 1, 1956

Question of Parity Conservation in Weak Interactions*

T. D. Lee, Columbia University, New York, New York







Leon Lederman & Team

...wir messen den Pion-Zerfallsraten in **Myonen** bzw. in **Positronen**!...

4.1.1957 - 8.1.1957



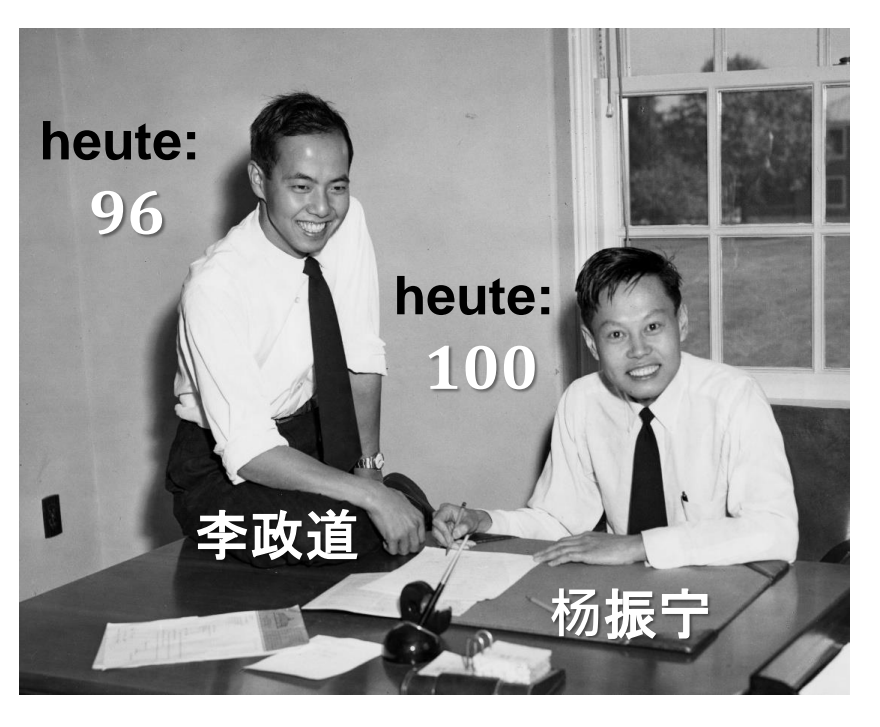
139,6 *MeV*

Ω: American IOP, nobelprize, pinterest

Parität & Ladungskonjugation, nachgefragt



beim O^+ - τ^+ Puzzle beobachete man Teilchen gleicher Masse, die in 2 Pionen $(\pi^+ + \pi^0)$ und in 3 Pionen $(\pi^+ + \pi^- + \pi^+)$ zerfallen. Weshalb verletzt dies die Parität, und was ist P und C von π^0 (& K^0)?



Tsung-Dao Lee Chen Ning Yang

$$P(\mathbf{0}^+) \to 2 \ \pi = (-1) \cdot (-1) \cdot (-1)^0 = +1$$

 $P(\tau^+) \to 3 \ \pi = (-1) \cdot (-1) \cdot (-1) \cdot (-1)^0 = -1$

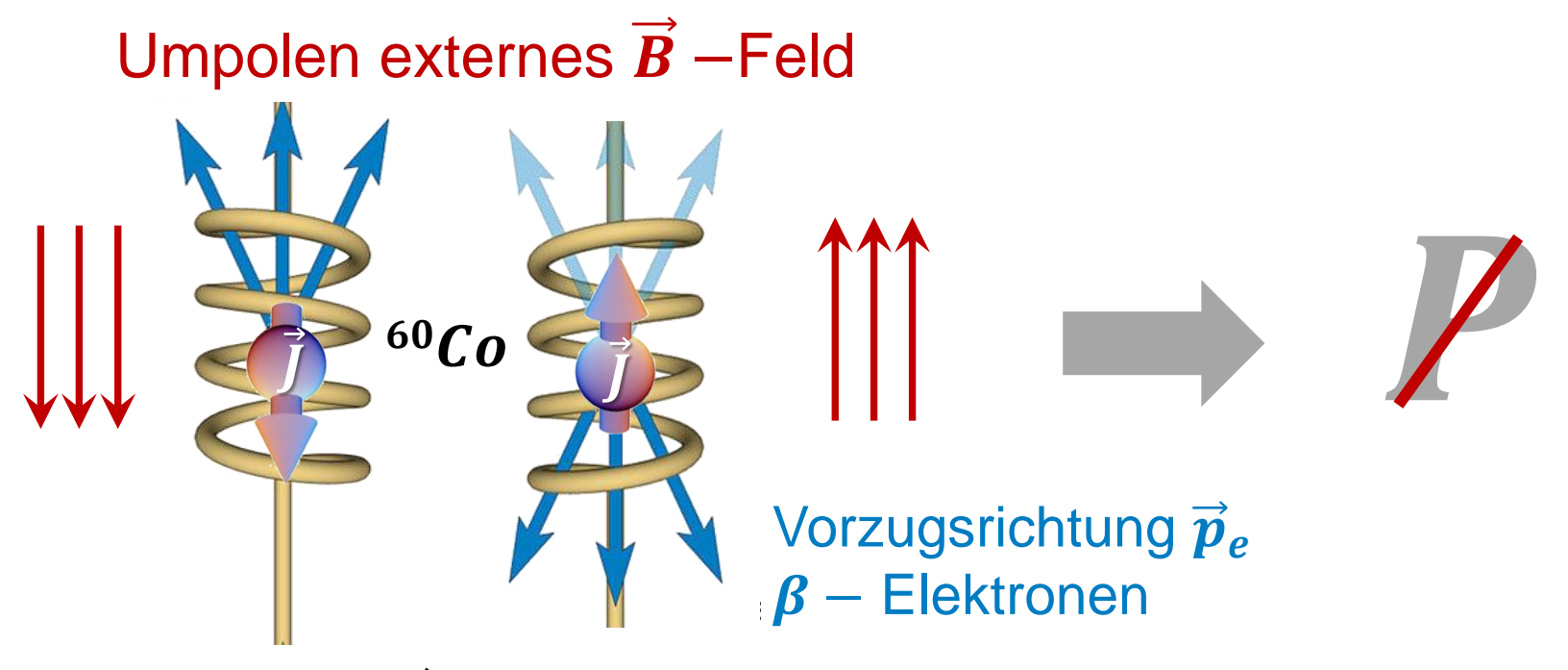
 (π, K) : "pseudo-skalare" Mesonen $\Rightarrow J^P = 0^-$ Spin = 0 ($\uparrow\downarrow$), rel. $q\overline{q}$ Bahndrehimpuls $\ell=0$

Pion
$$\pi^0$$
 (Kaon K^0): C – Parität $C = (-1)^{\ell+s}$
 $s = 0, \ \ell = 0 \Rightarrow C = (-1)^0 = +1$

Paritätsverletzung im ß-Zerfall eines Kerns

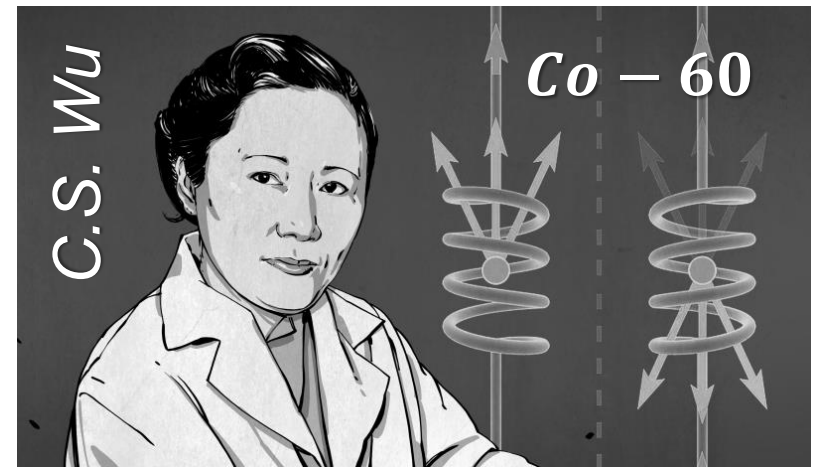


- Wu's Weihnachts-Experiment: auf der Spur der Verletzung von P
 - Observable im Wu-Experiment ist ein **Pseudoskalar**: dabei ergibt sich **Vorzeichenänderung unter Paritätstransformation**



- Kernspin \overrightarrow{J} umgeklappt: \overrightarrow{p}_e immer antiparallel





O. I ANI pintarast

Paritätsverletzung im β –Zerfall eines Kerns



- Wu-Experiment: sehr hohe Anforderungen an Polarisationsgrad
 - bei polarisierten Kernen benötigt man ein sehr starkes Magnetfeld



- **Kernmagneton** μ_N wird definiert über Proton-Masse m_p

$$\mu_{N} = \frac{e}{2m_{p}} \cdot \hbar$$

 $\mu_N = 3{,}152\,451\,258\,44(96) \cdot 10^{-8}\,eV/T$

- Kernmoment
$$\mu_K$$
: $\overrightarrow{\mu}_K \sim \mu_N \cdot \overrightarrow{J}_K$

Pseudoskalar

axialer Vektor





Wu: starke B -Felder & mK -Temperaturen



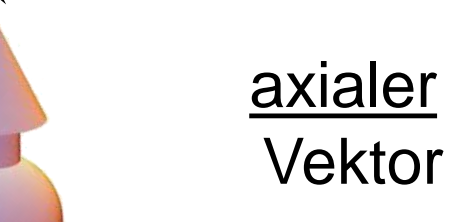
- \blacksquare Ausrichtung des Spins: starke B Felder & Kryotechnologie für mK
 - für heutige Technologie (supraleitende Magnete, Kryostate) deutlich einfacher



Supraleiter

starke B -Felder





 $\overrightarrow{\mu}_{K}$

Pseudoskalar

 $\vec{J}_{Kern} \cdot \vec{p}_e$

polarer



Mischungskryostat

T im mK - Bereich!

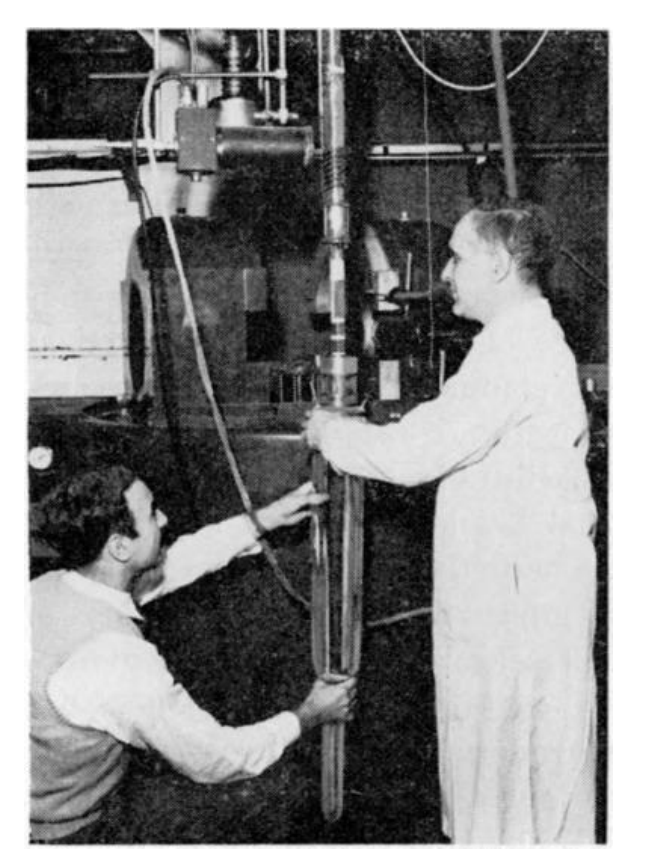
Wu: starke B -Felder & mK -Temperaturen



- Ausrichtung des Spins: Experten des National Bureau of Standards (NBS)*
 - für damalige Technologie eine echte Herausforderung!
 - Hilfe durch Tieftemperatur-Experten am NBS in Washington
 - Madame Wu: Präparation der dünnen ⁶⁰Co –Samples (Aktivität: einige μCi)

$$t_{1/2} = 5,27 Jahre$$

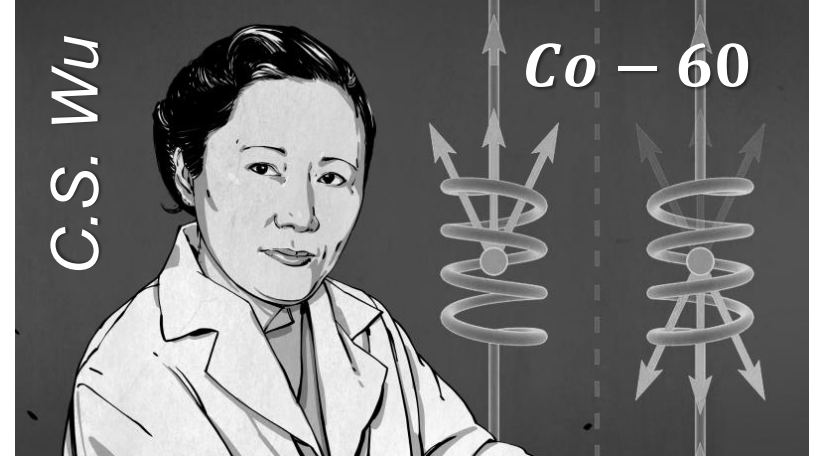
 $E_{max}(e^{-}) = 0,3 MeV$













Wu: starke B -Felder & mK -Temperaturen

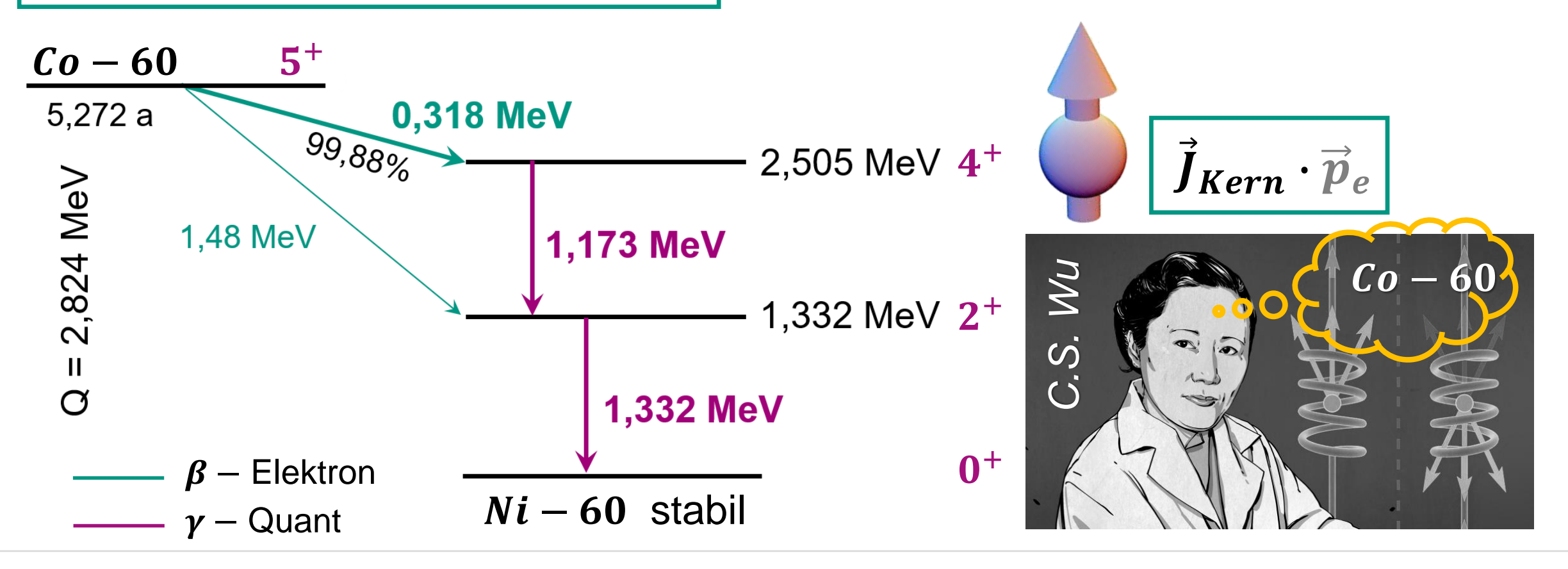


lacksquare Der eta –Zerfall von ^{60}Co – ideal für Untersuchungen zur Paritätsverletzung

$$^{60}Co~(5^{+}) \rightarrow ^{60}Ni^{*}~(4^{+}) + e^{-} + \overline{\nu}_{e}$$

 β –Zerfall mit **2** γ 's (**E2**)*: zeigen





6.6.2023

Wu-Experiment: Aufbau im Überblick



■ Überblick: Quelle/Kryo/Magnete

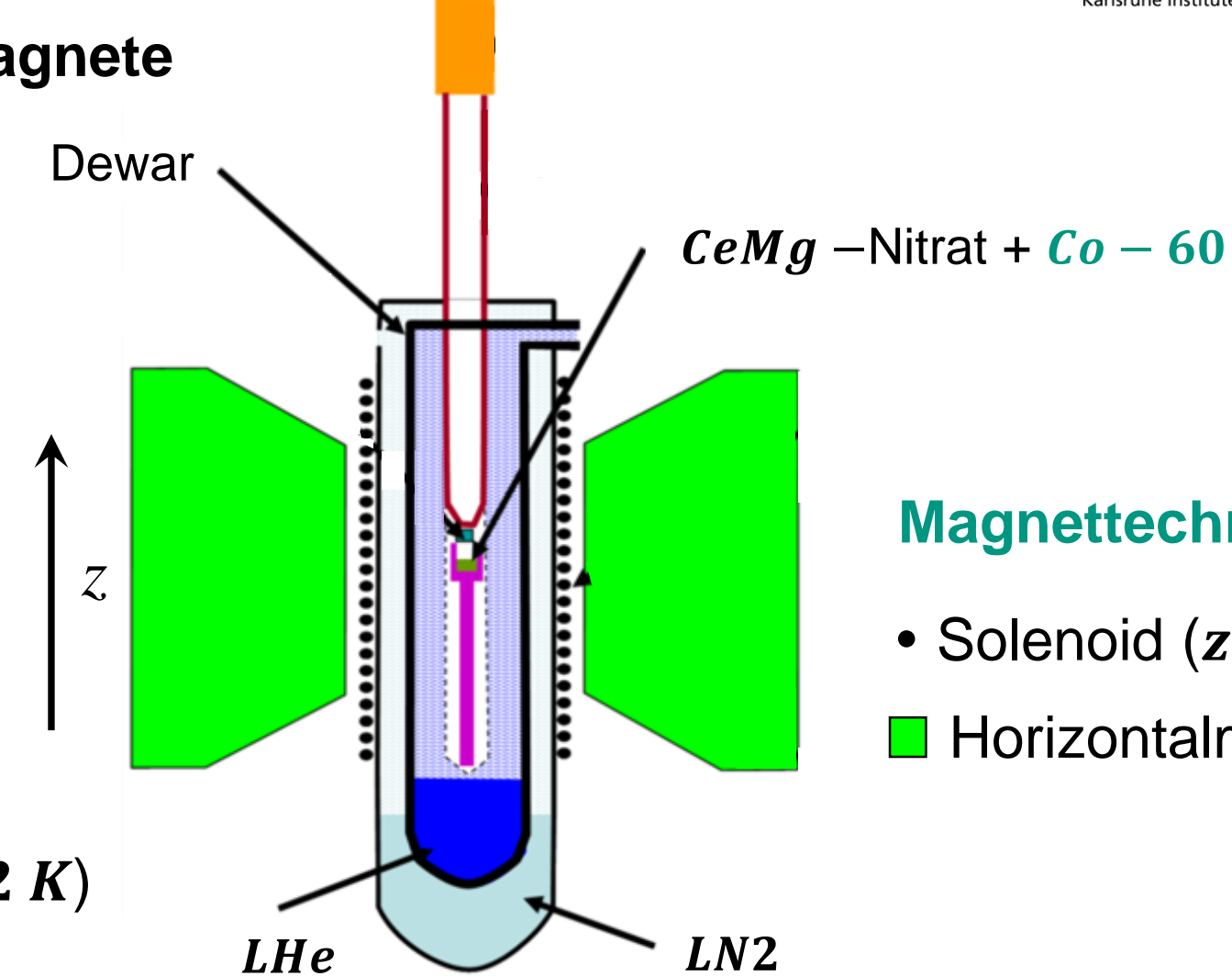
⁶⁰Co −Quelle

als dünner Film auf einem para-magnetischen Ce - Mg - Nitrat Salz

Kryotechnik

LN2 Bad (T = 77 K)

LHe Bad, gepumpt (T = 1, 2 K)



Magnettechnik

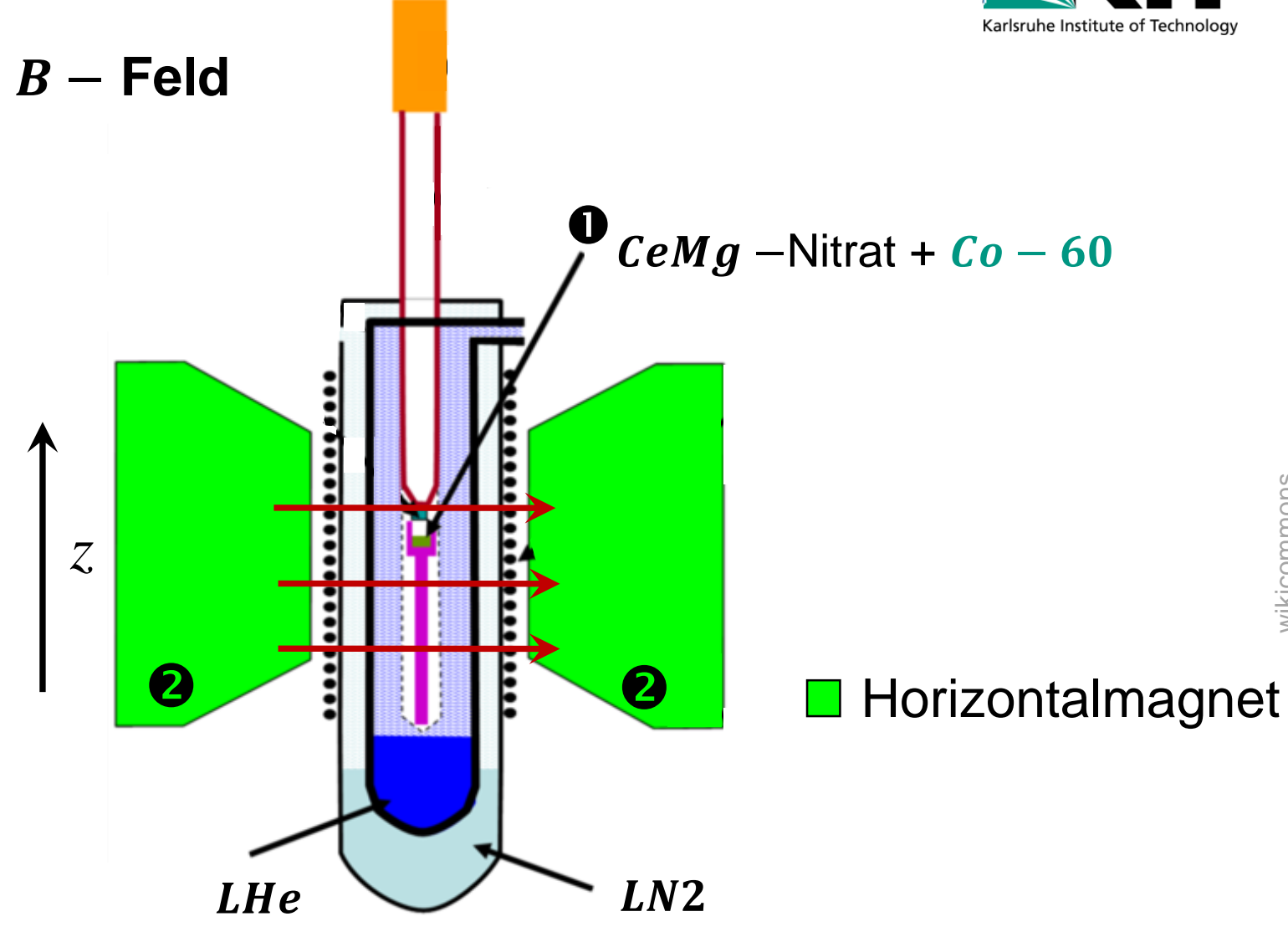
- Solenoid (z)
- Horizontalmagnet

Wu-Experiment: Ablauf



■ Erste Phase: horizontales B − Feld

- •••Co durch Abpumpen von LHe (flüssiges He) auf T=1,2 K abgekühlt: noch keine Polarisation der Kerne $(k_BT \gg \overrightarrow{\mu} \cdot \overrightarrow{B})$
- durch Anlegen eineshorizontalen B -Felds:
 - ⇒ Polarisation derAtomhüllen: anisotroperg Faktor des Salzes

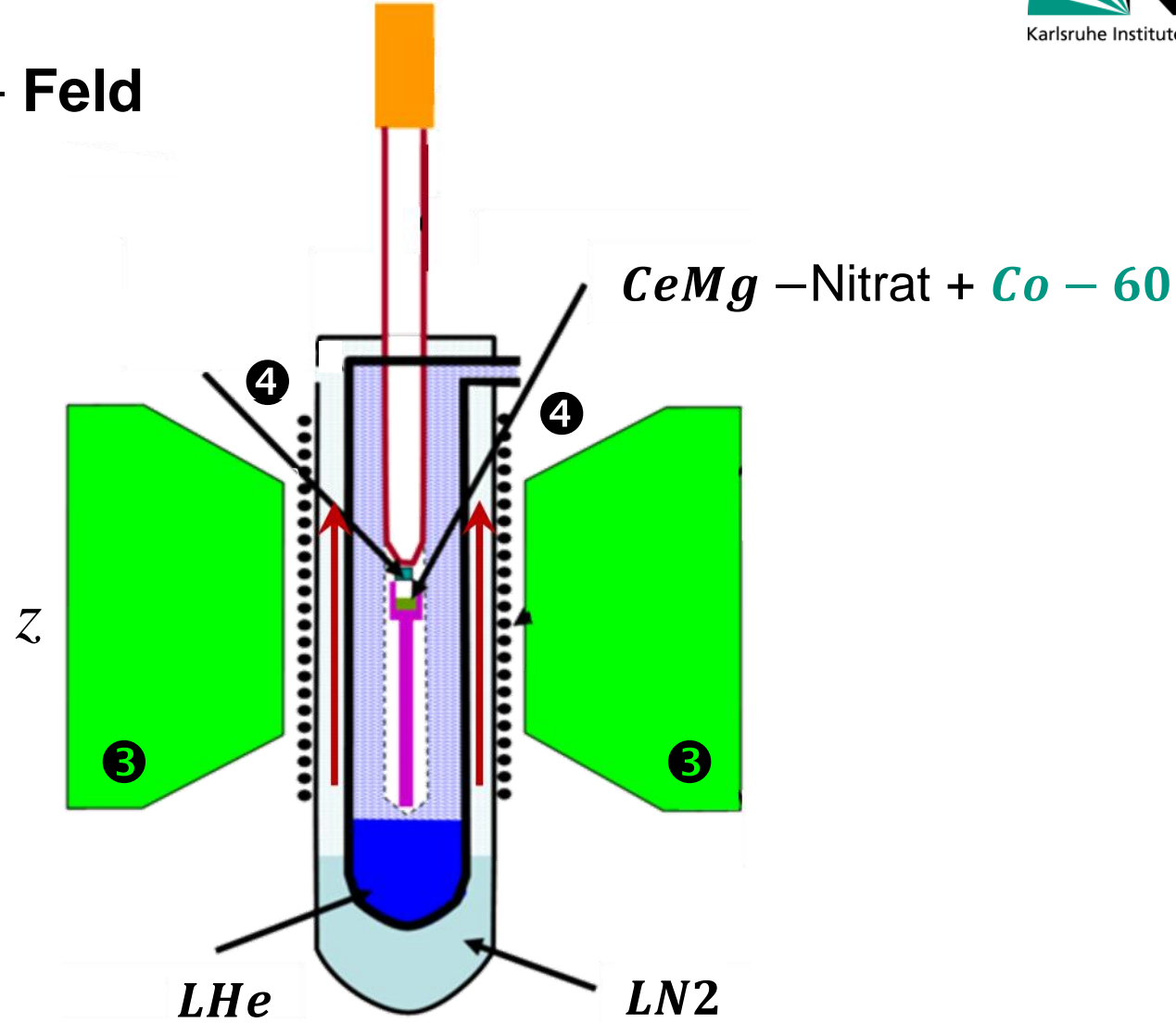


Wu-Experiment: Ablauf



■ zweite Phase: vertikales B − Feld

- Herunterregeln des horizontalen \overrightarrow{B} –Felds (adiabatische Entmagnetisierung): Probe kühlt ab auf wenige mK!
- Anlegen eines vertikalen \overrightarrow{B} -Feldes: Probe bleibt
 kalt, da g -Faktor Salz klein
 - \Rightarrow 60 Co Kerne sind polarisiert entlang \overrightarrow{B}



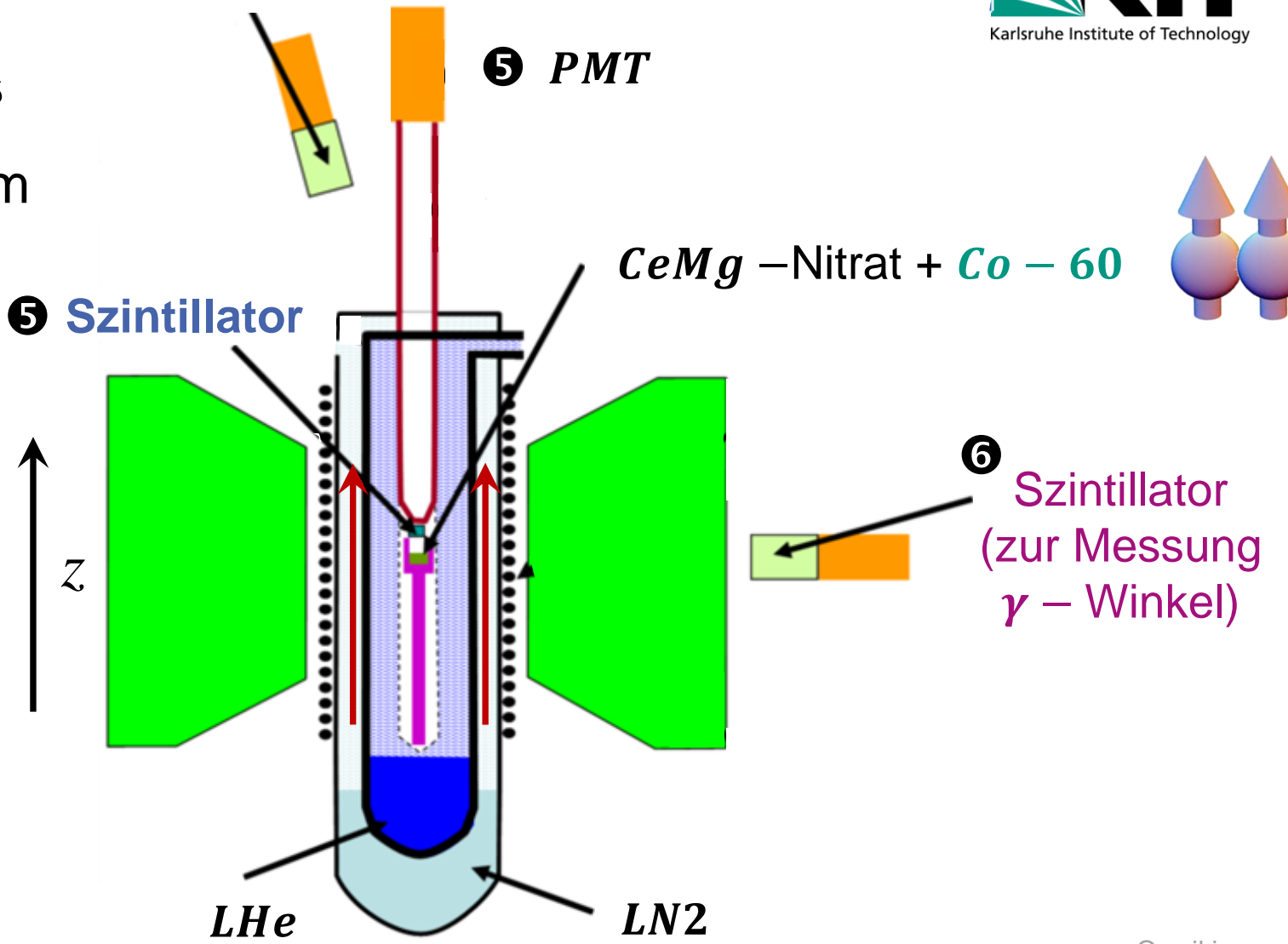
Szintillator



Weitere Experimentdetails

Szintillator (Anthracen) zum Nachweis *β* −Elektronen aus dem ⁶⁰Co –Zerfall

6 Szintillator zum Nachweis der γ – Strahlung aus dem ⁶⁰Ni*-Zerfall (Test der Polarisation der Kerne)



Q: wikicommons

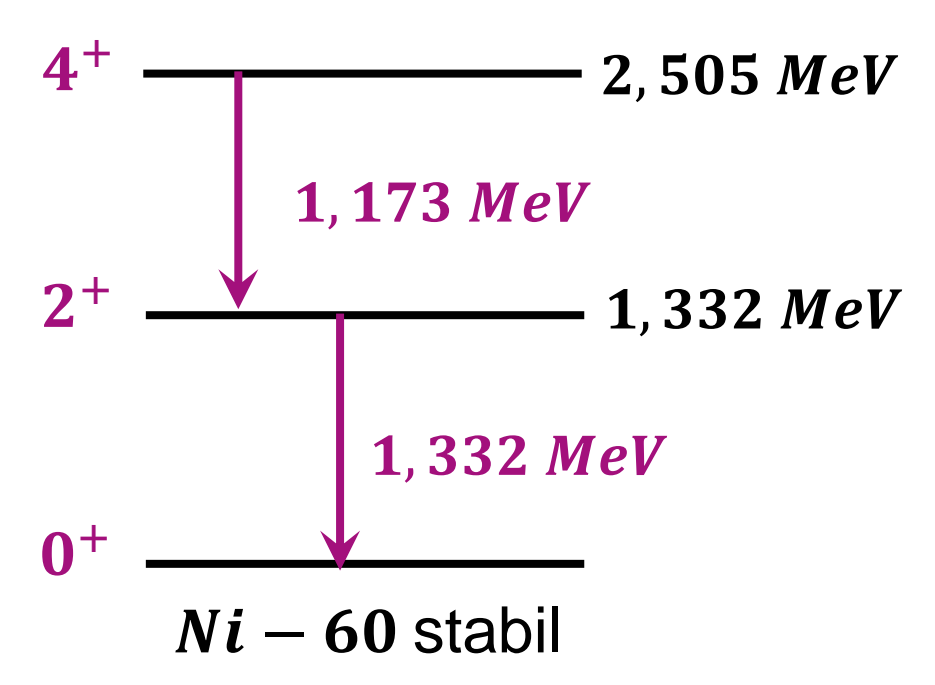
6.6.2023

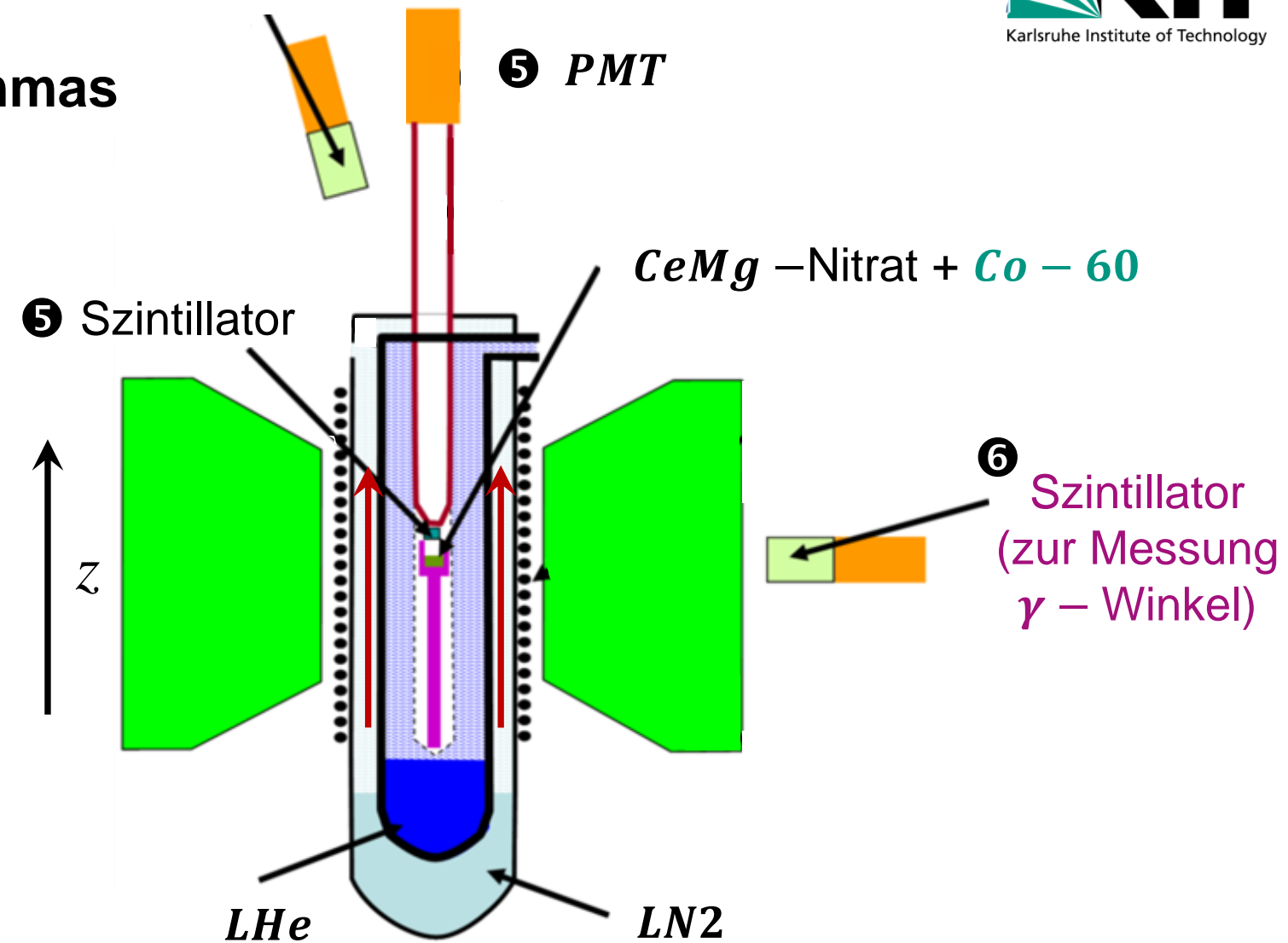
Szintillator



Winkelverteilung der Gammas

Überprüfung des erzielten Polarisations-Wertes





Q: wikicommons

Szintillator

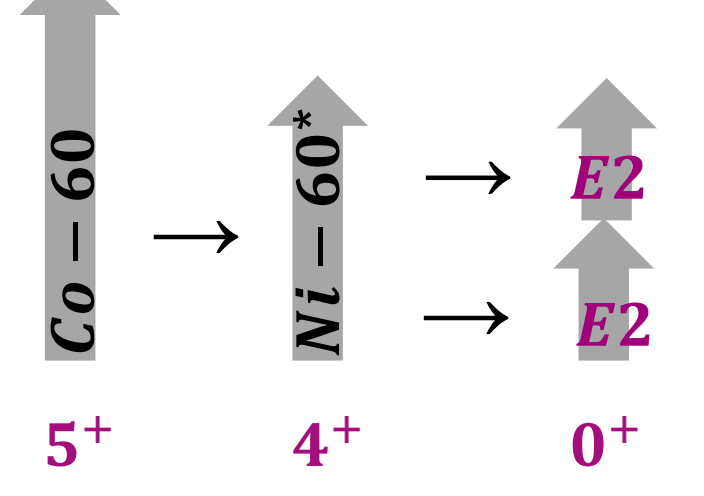


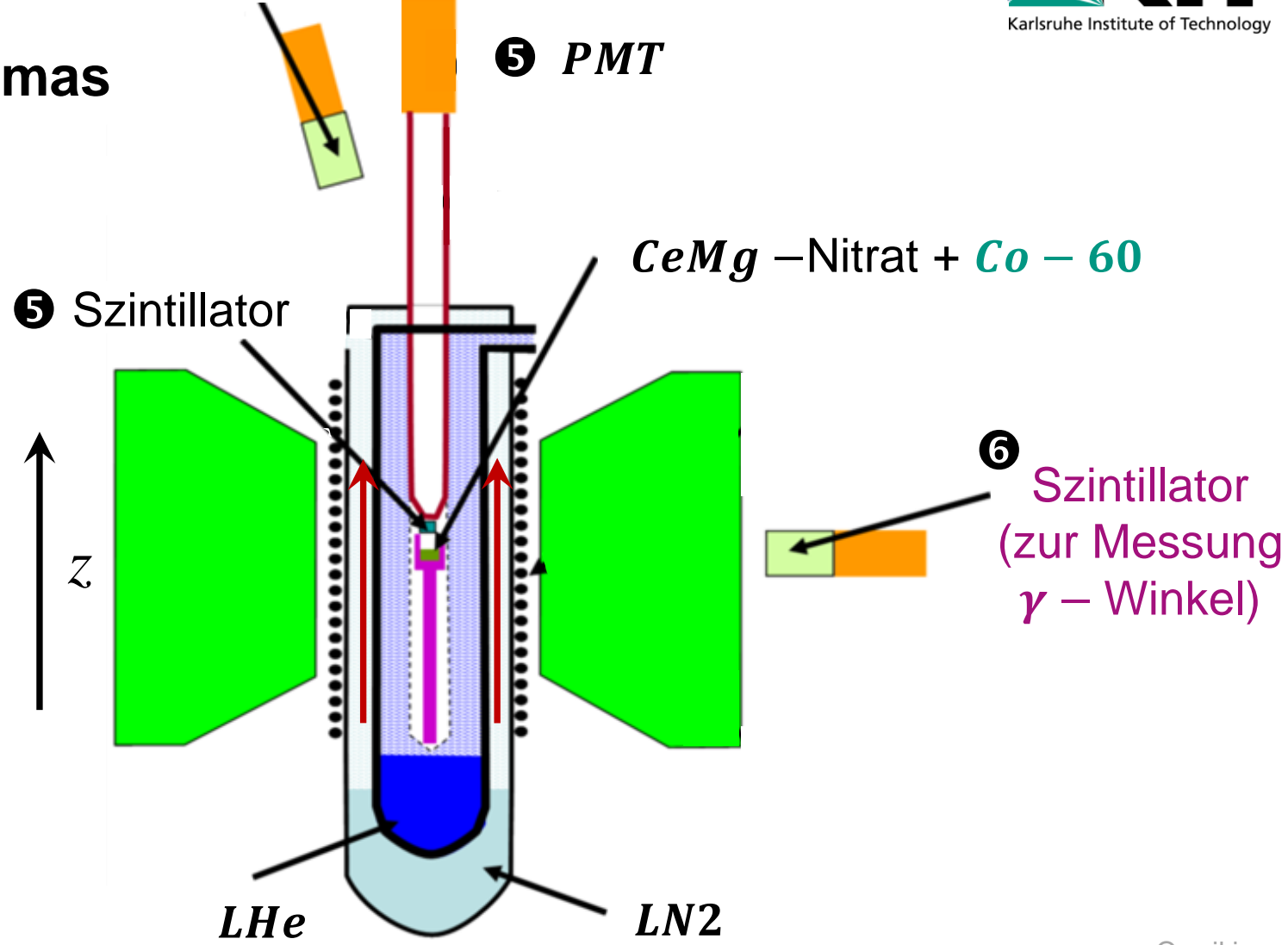
Winkelverteilung der Gammas

Überprüfung des erzielten Polarisations-Wertes



Spinausrichtungen





Q: wikicommons

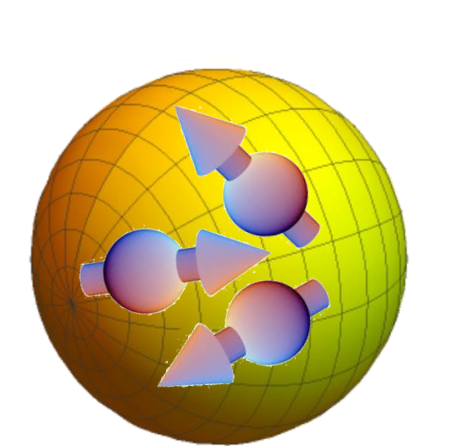
Szintillator



Exp. Teilchenphysik - ETP

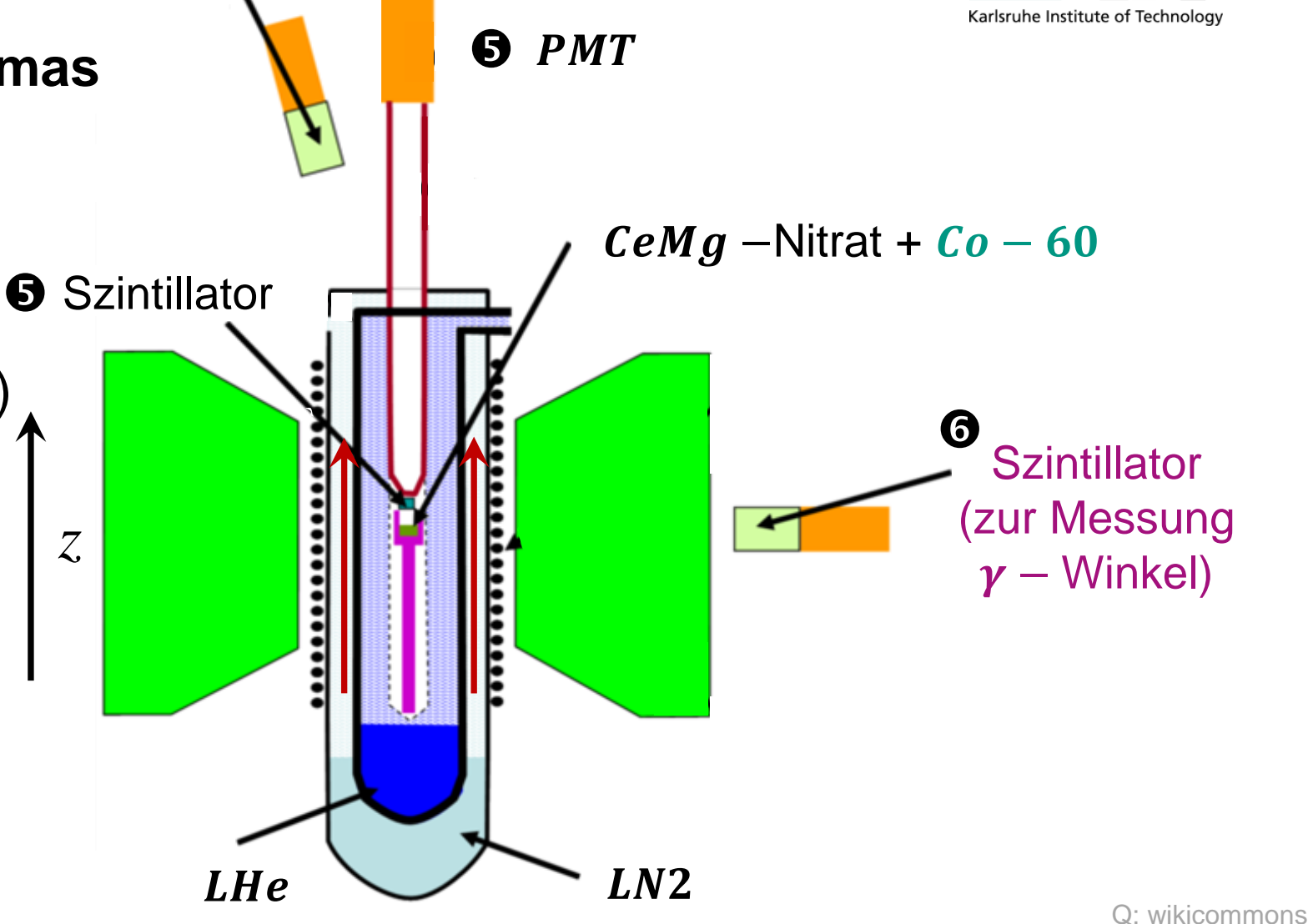
Winkelverteilung der Gammas

Überprüfung des erzielten Polarisations-Wertes mit $4^+ \rightarrow 2^+ \rightarrow 0^+$ Übergängen aus Ni*-Kern (E2 Quadrupol)



Co - 60 unpolarisiert: isotrop

Mod. Ex. Phys. III VL 12

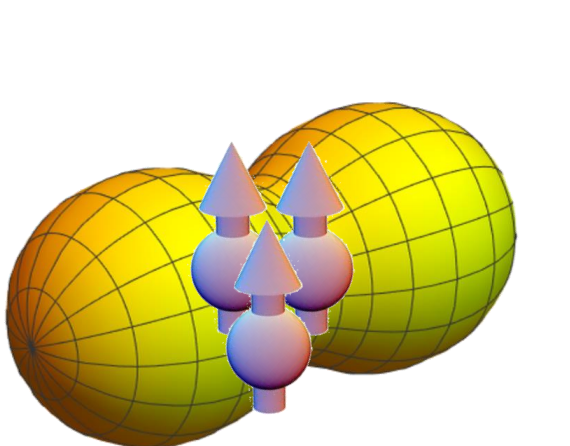


Szintillator

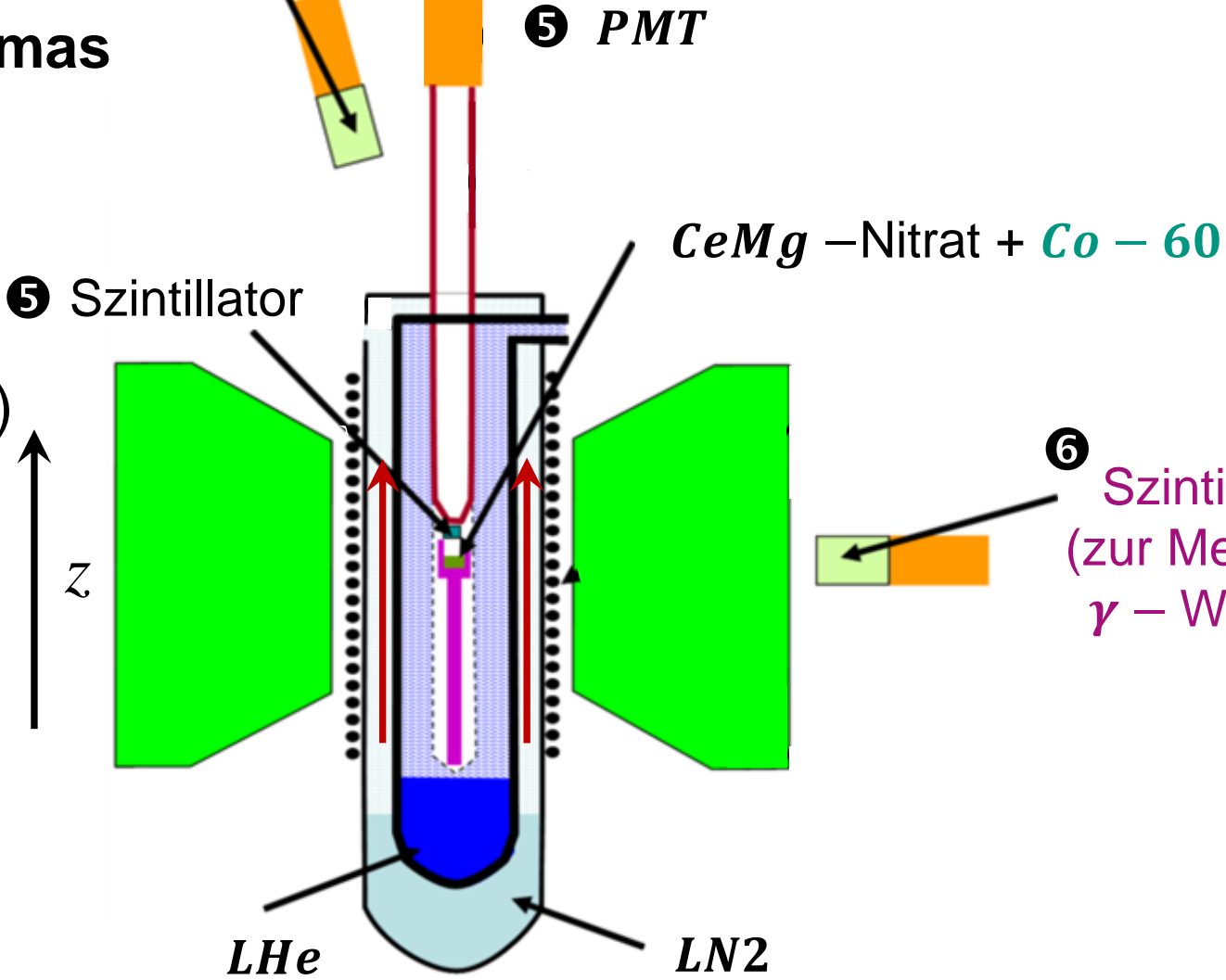


Winkelverteilung der Gammas

Überprüfung des erzielten Polarisations-Wertes mit $4^+ \rightarrow 2^+ \rightarrow 0^+$ Übergängen aus Ni*-Kern (E2 Quadrupol)



Co-60 polarisiert: anisotrop



Szintillator (zur Messung γ – Winkel)

Q: wikicommons

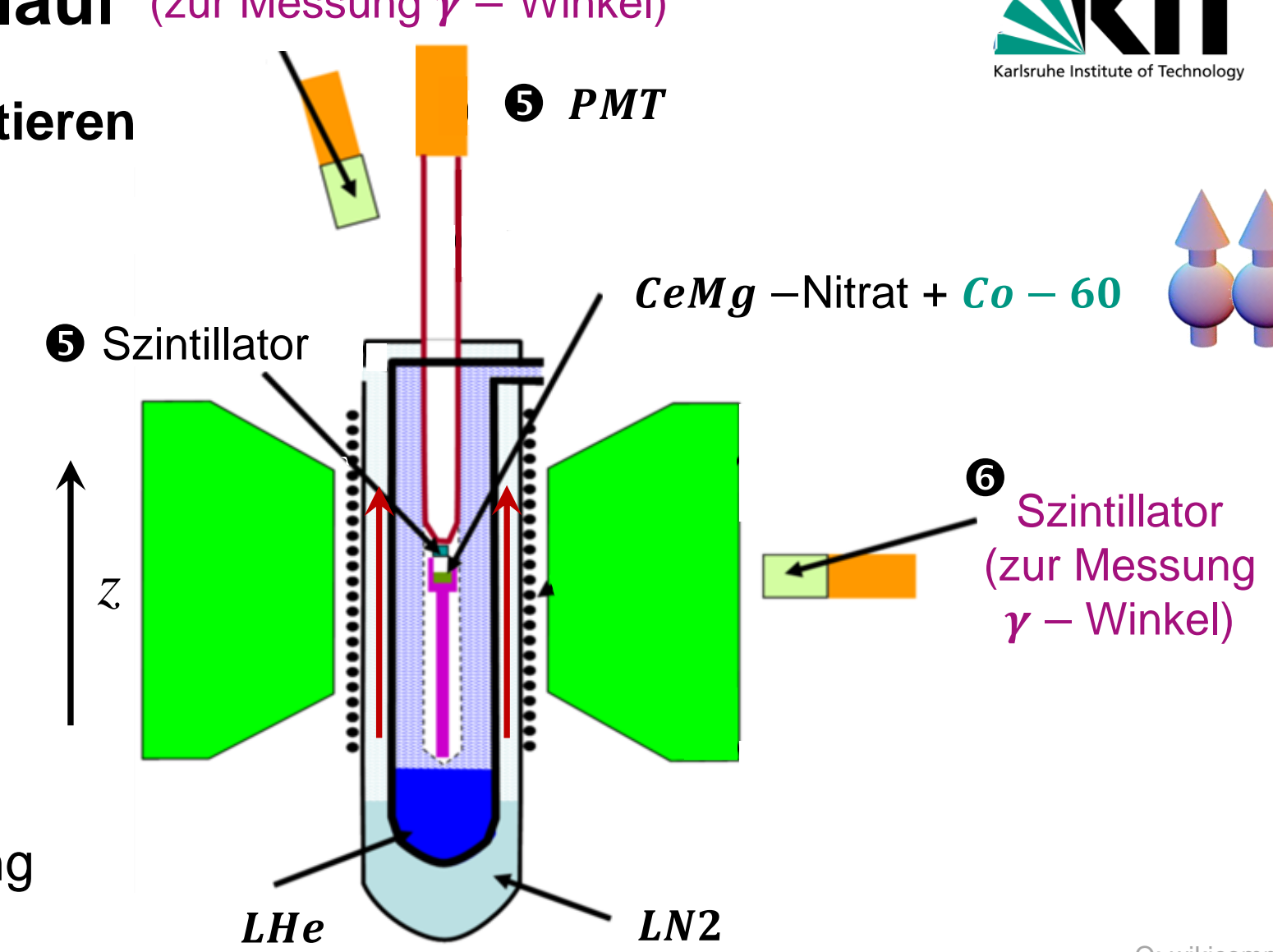
Szintillator



Phasen beim Experimentieren

- polarisiere Co - 60 mit starkem externen B – Feld

- überprüfe, dass Co 60Kerne polarisiert sind
- messe Richtungen der **Elektronen** aus β –Zerfall
- bestimme, ob Vorzugsrichtung



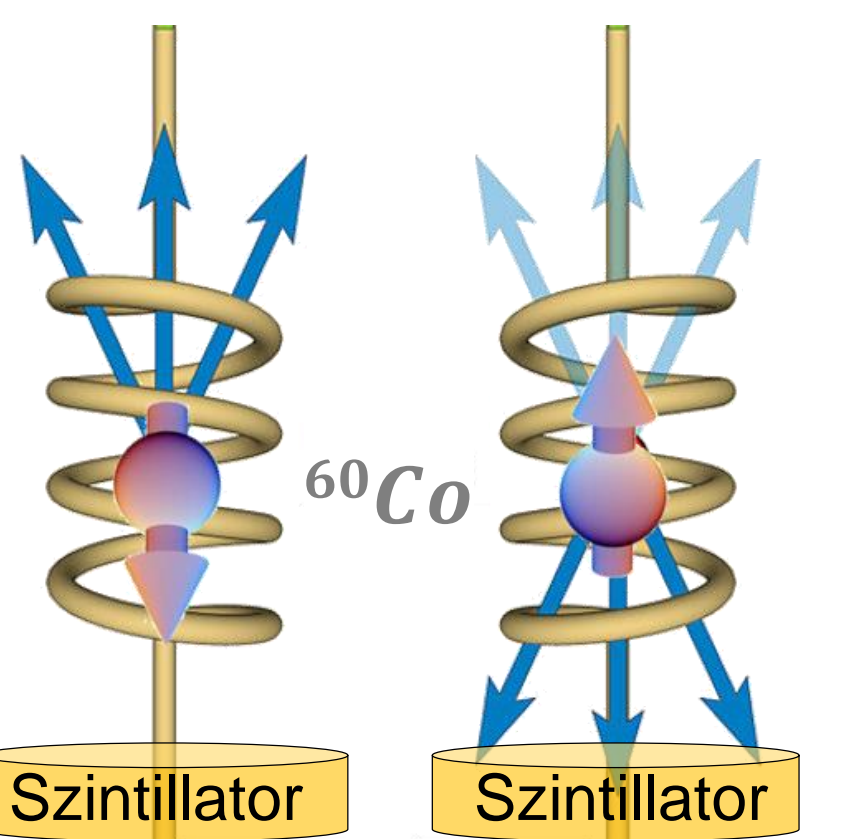
Q: wikicommons

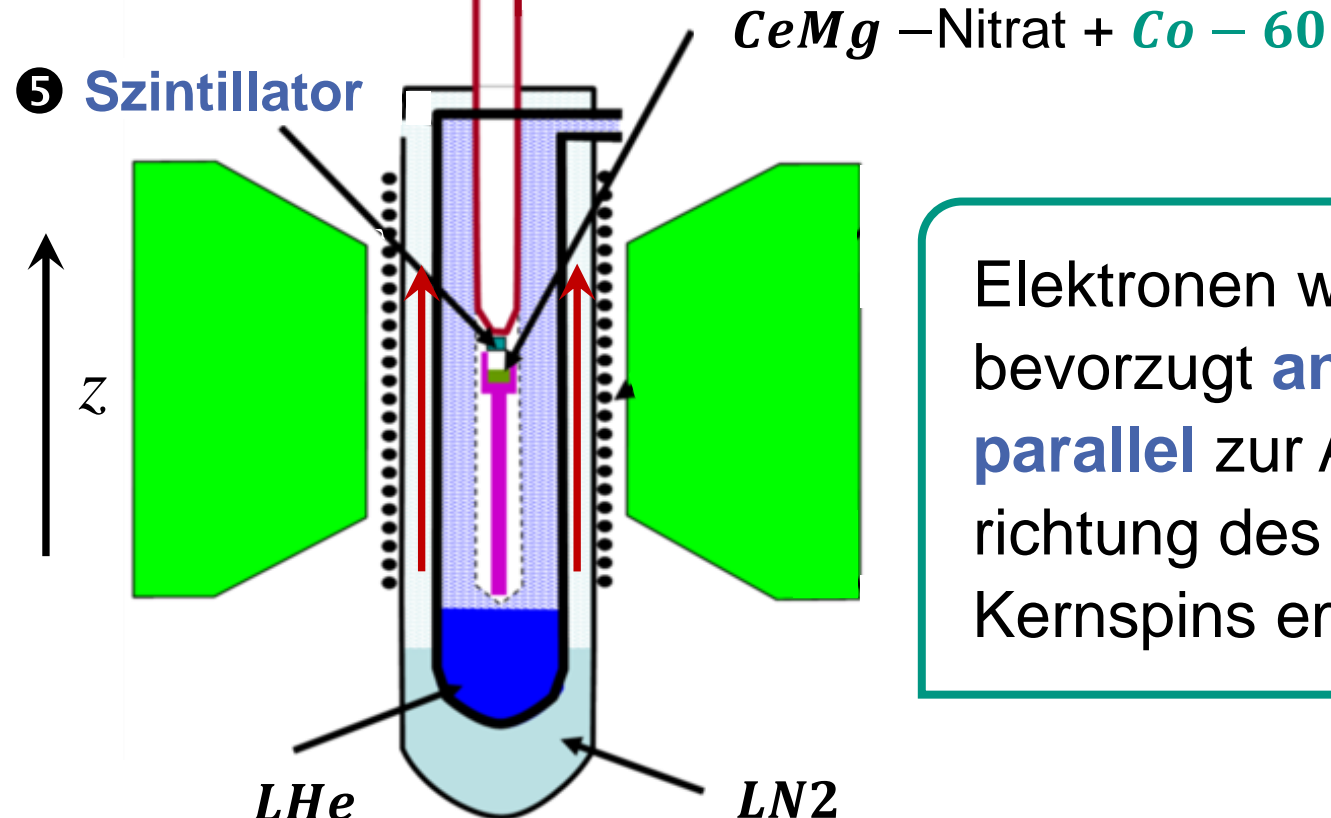
6.6.2023

Wu-Experiment: Resultat – Paritätsverletzung!



 β – Elektronen zeigen eine Vorzugsrichtung, korreliert mit \vec{I} von ^{60}Co





Elektronen werden bevorzugt antiparallel zur Ausrichtung des Kernspins emittiert

Q: wikicommons

Wu-Experiment: Resultat – Paritätsverletzung!



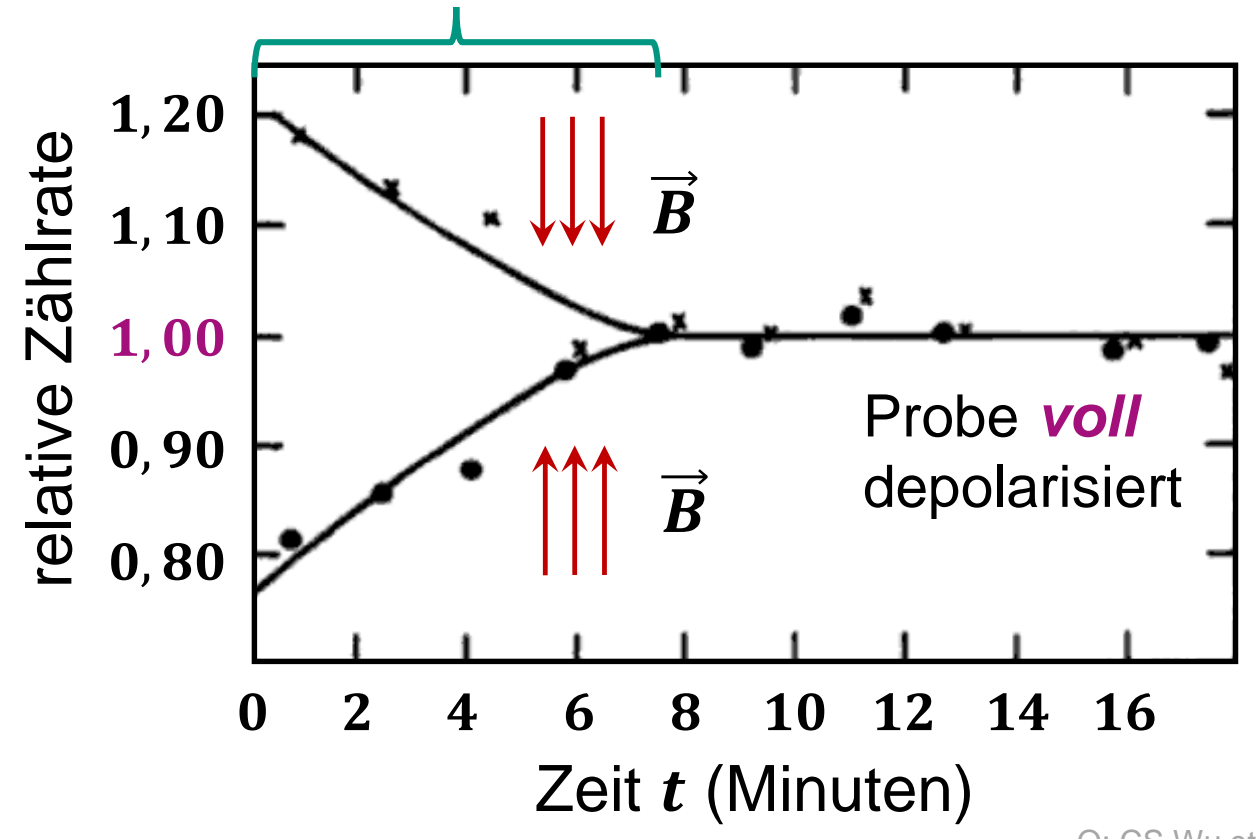
■ β -Elektron wird bevorzugt antiparallel zum Kernspin von Co-60 emittiert

Iangsame \vec{J} depolarisiert Proben-Erwärmung (via E2 –Übergänge)

Nachweis eines endlichen
 Erwartungswertes eines
 Pseudoskalars



■ DIE PARITÄT BEIM β − ZERFALL IST MAXIMAL (ZU 100%!!) VERLETZT



Q: CS Wu et al

Arbeiten von Lee und Yang & Madame Wu



■ 15.1.1957: Madame Wu & ihr Team reichen die Resultate ihrer Weihnachtmessungen bei *Phys. Rev. Letters* ein (publiziert am 15.2.57)

Experimental Test of Parity Conservation in Beta Decay*

C. S. Wu, Columbia University, New York, New York

E. Ambler, R. W. Hayward, D. D. Hoppes, and R. P. Hudson, National Bureau of Standards, Washington, D. C. (Received January 15, 1957)

Interactions, Lee and Yang critically surveyed the experimental information concerning this question and reached the conclusion that there is no existing evidence either to support or to refute parity conservation in weak interactions. They proposed a number of experiments on beta decays and hyperon and meson decays which would





Experimental Test of Parity Conservation in Beta Decay (aps.org)

Mod. Ex. Phys. III VL 12 Exp. Teilchenphysik - ETP

6.6.2023

nobelprize, Q: American IOP,

Arbeiten von Lee und Yang & Madame Wu



- 1956: Lee & Yang erhalten den Nobelpreis nur wenige Monate später, exp. Beweise der Paritätsverletzung wurden beim Nobelpreis leider ignoriert
 - Madame Wu leider nicht vom Nobelpreiskomitee berücksichtigt...



Tsung-Dao Lee Chen Ning Yang



"for their penetrating investigation of the so-called parity laws which has led to important discoveries regarding the elementary particles"

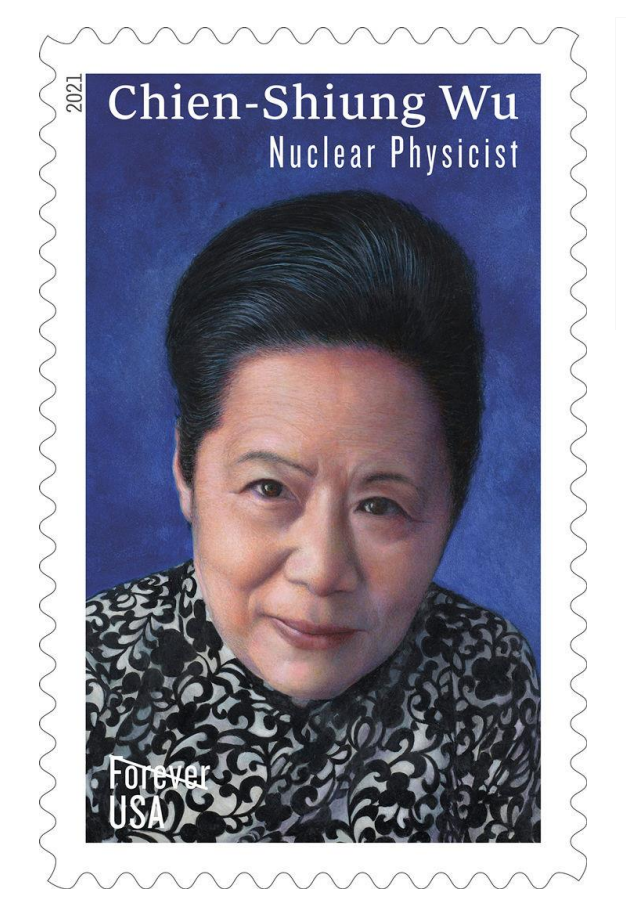


6.6.2023

Madame Wu – späte Ehrung



■ Madame Wu – 2021 Ehrung via *US* Postal Stamp



Feb. 1, 2021

Nuclear Physicist Chien-Shiung Wu to be Honored on a U.S. Postal Service Commemorative Forever Stamp



"The First Lady of Physics"

Q: USPS, pionteres

Wu-Experiment, nachgefragt

Szintillator(zur Messung γ – Winkel)



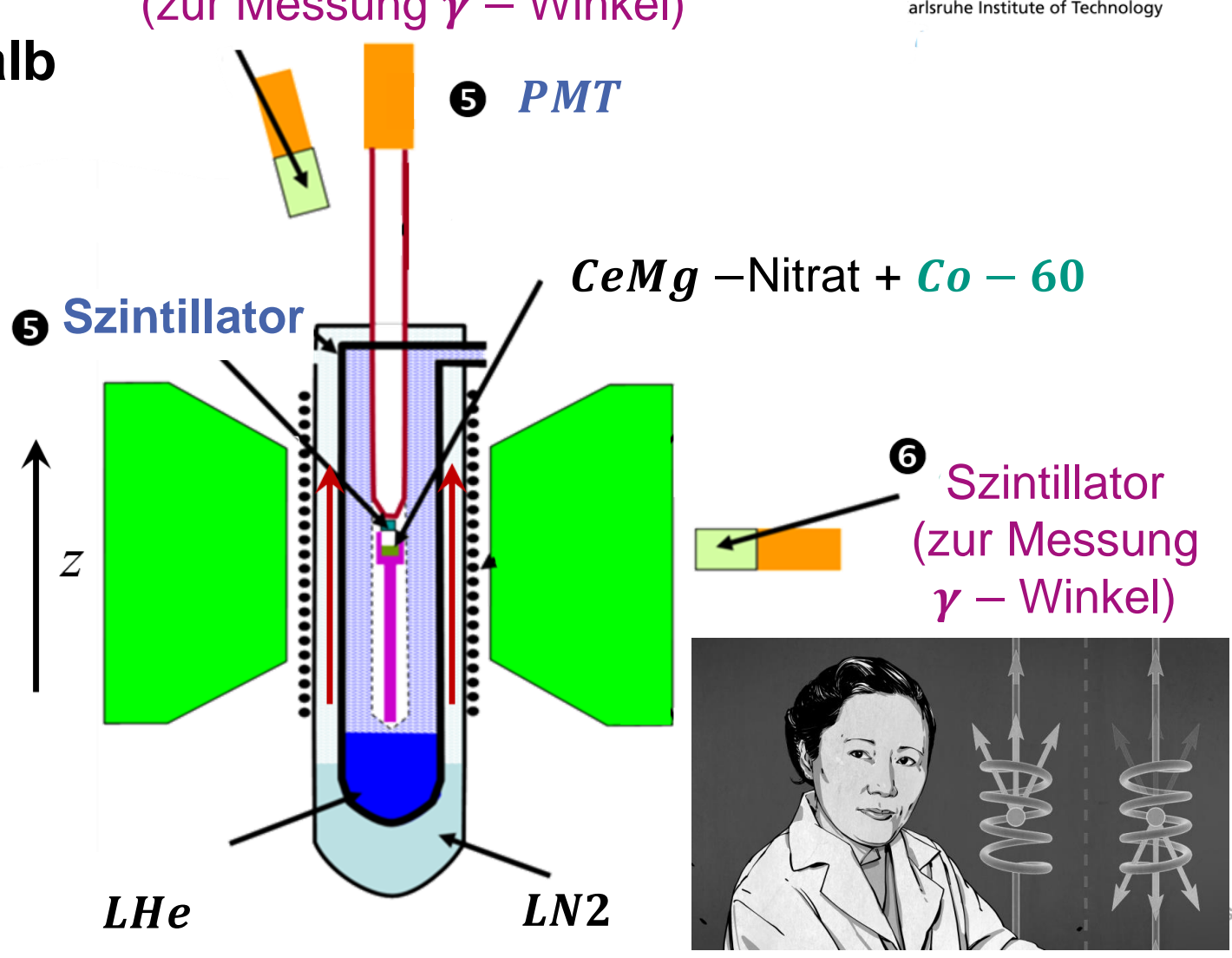
Madame Wu frägt nach, weshalb ihr Aufbau so komplex war

Szintillator **⑤** & *PMT* sind weit voneinander getrennt, warum?

Lichtleiter ist erforderlich, da **PMT** nur in niedrigem **B** – Feld arbeitet

Szintillator **⑤** & ⁶⁰Co −Präparat sind direkt benachbart, weshalb? (bzw. warum weit getrennt bei **⑥** ?)

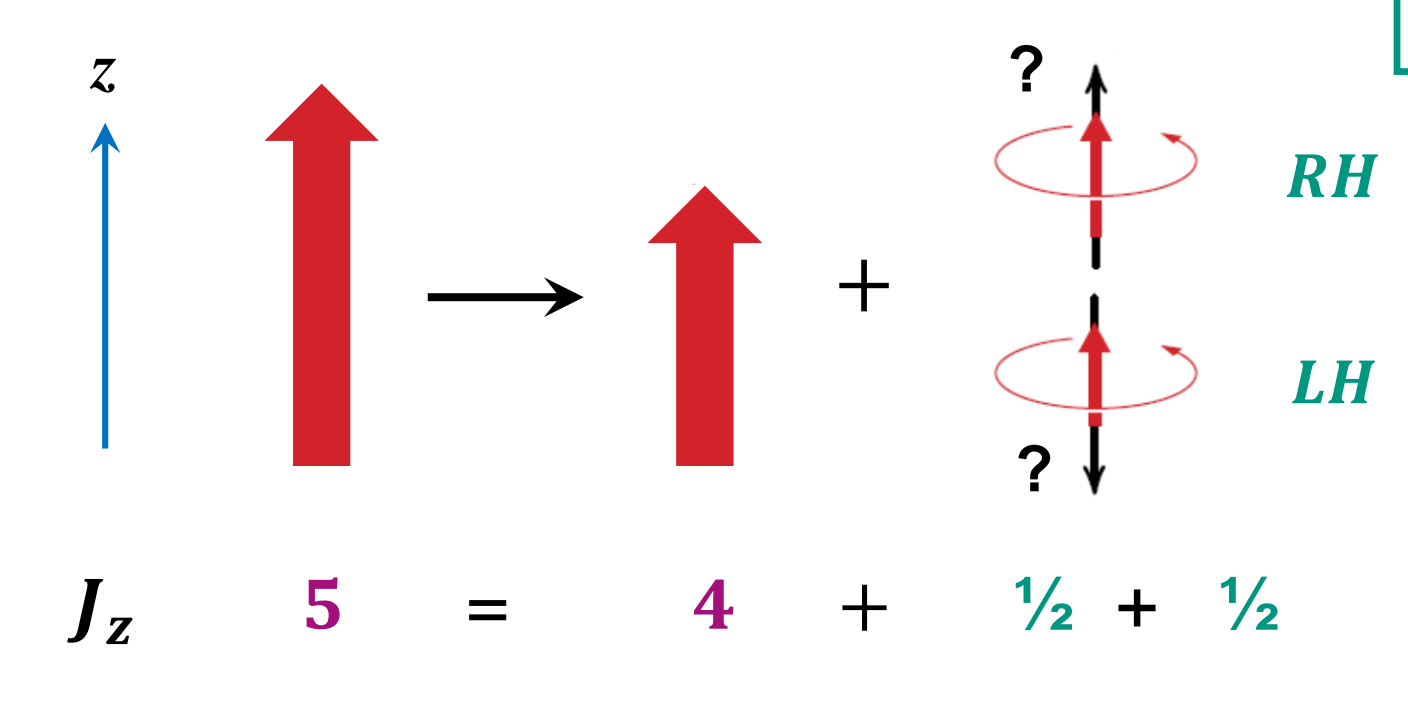
unterschiedliche Reichweite von β – Elektronen & γ – Quanten



Wu-Experiment: Bedeutung für Helizität von $e^- \bar{\nu}_e$



■ Spins beim Co - 60 Zerfall (polarisiert)



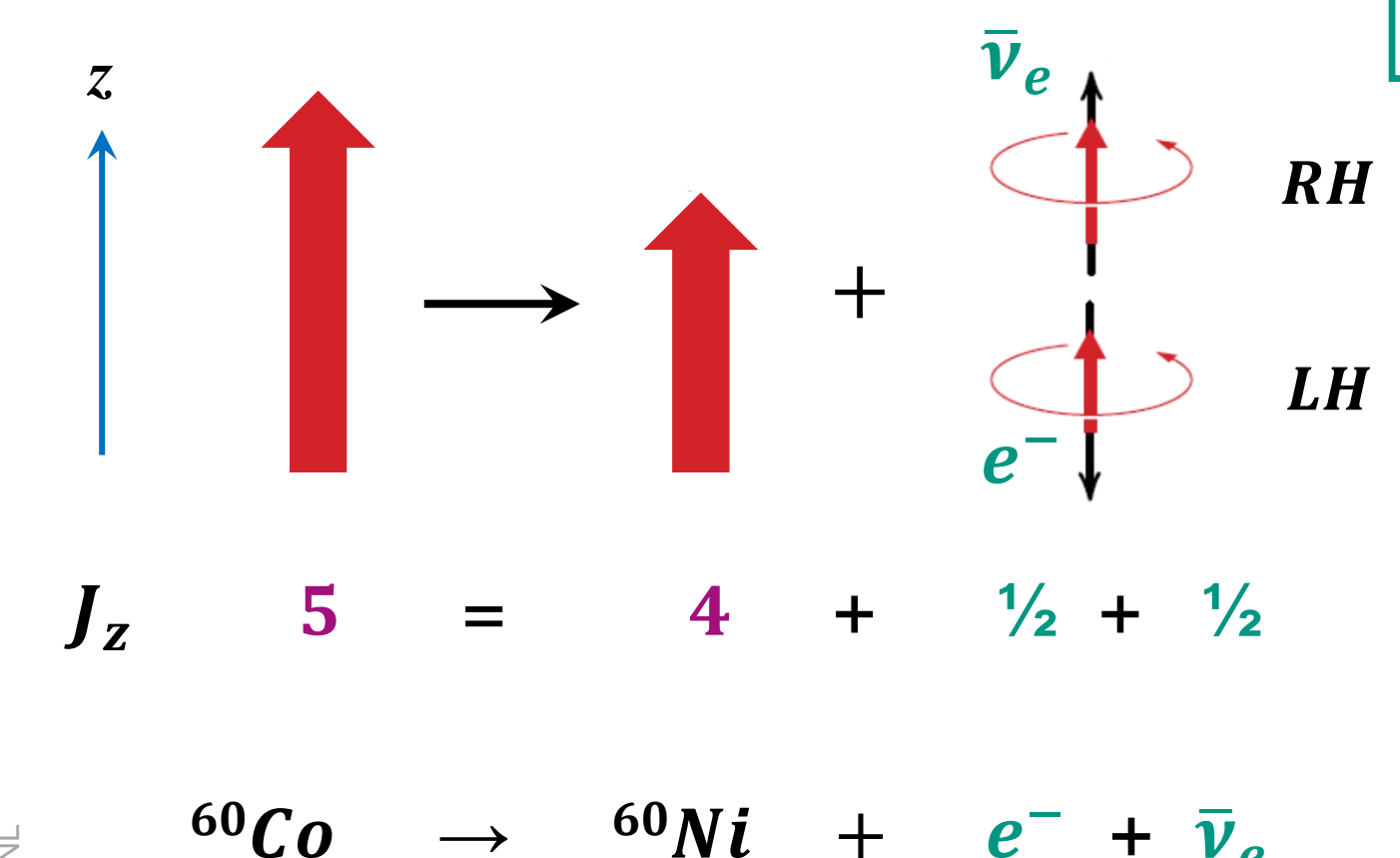
$$^{60}Co~(5^{+}) \rightarrow ^{60}Ni^{*}~(4^{+}) + e^{-} + \overline{\nu}_{e}$$

- Impulse von e^- und $\overline{m{v}}_e$ antiparallel da $m{eta}$ -Zerfall in Ruhe ($m{\Sigma}$ $\vec{m{p}}_i = m{0}$)
- **Spins** von e^- und $\overline{\nu}_e$ parallel da Kernspins $J_z=5 \rightarrow J_z=4$
- ein Teilchen muss daher RH &
 ein Teilchen muss LH sein

Wu-Experiment: Bedeutung für Helizität von $e^- \bar{\nu}_e$



Spins beim Co - 60 Zerfall (polarisiert)



$$^{60}Co~(5^{+}) \rightarrow ^{60}Ni^{*}~(4^{+}) + e^{-} + \overline{\nu}_{e}$$

- Händigkeit des $\overline{\nu}_{e}$: Bestimmung in unabhängigem Experiment* durch M. Goldhaber:

Helizität ($\overline{\nu}_e$) = RH

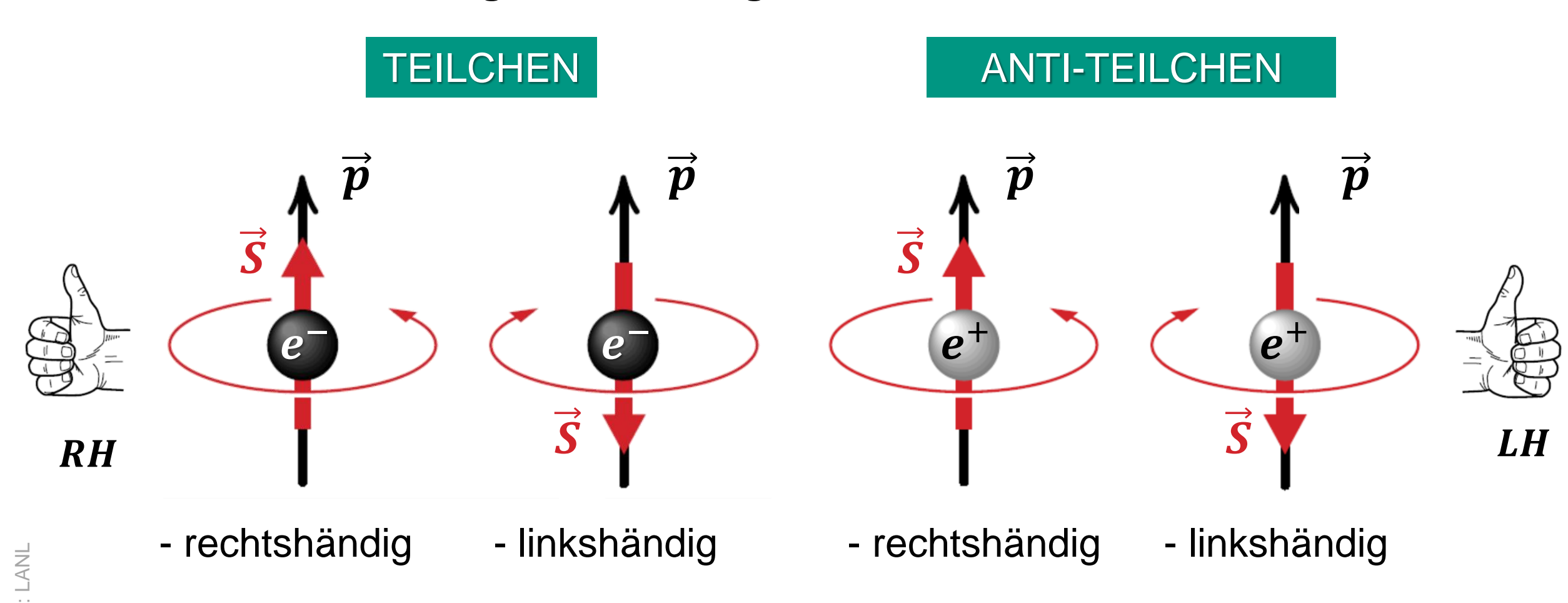
- $Co - 60 \beta$ –Zerfall: **Emission**

linkshändiges Elektron rechtshändiges Antineutrino

Helizitätszustände eines Fermions mit $S = \frac{1}{2}$



■ Helizität: linkshändig/rechtshändig, Teilchen bzw. Antiteilchen



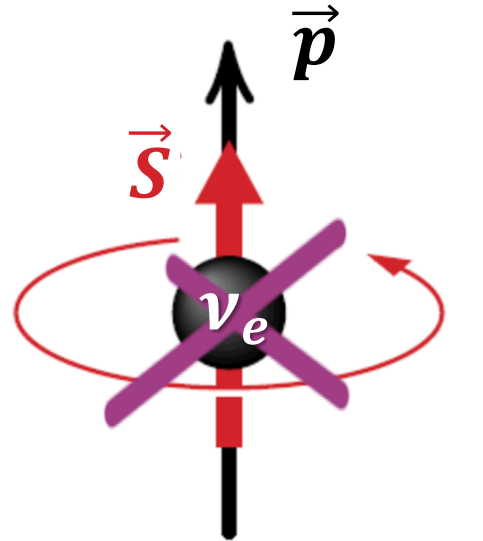
Helizitätszustände von Neutrinos (Goldhaber)

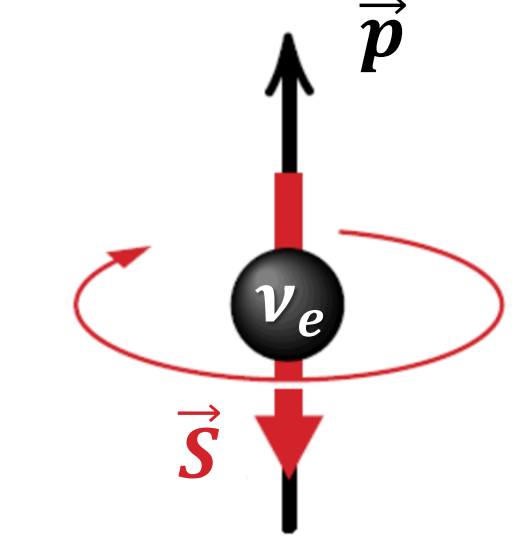


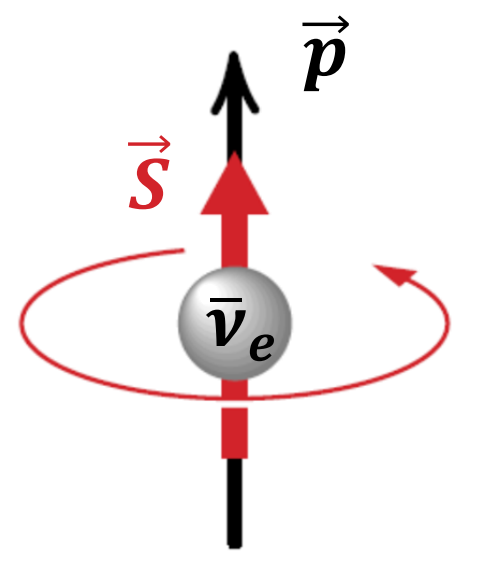
■ Helizität: linkshändige Neutrinos und rechtshändige Antineutrinos

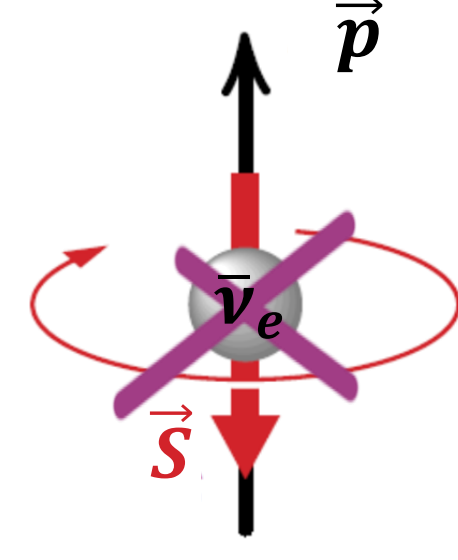
Neutrinos

Anti-Neutrinos









- rechtshändig
- linkshändig

- rechtshändig
- linkshändig

"steriles" $\overline{\nu}$

"steriles" v

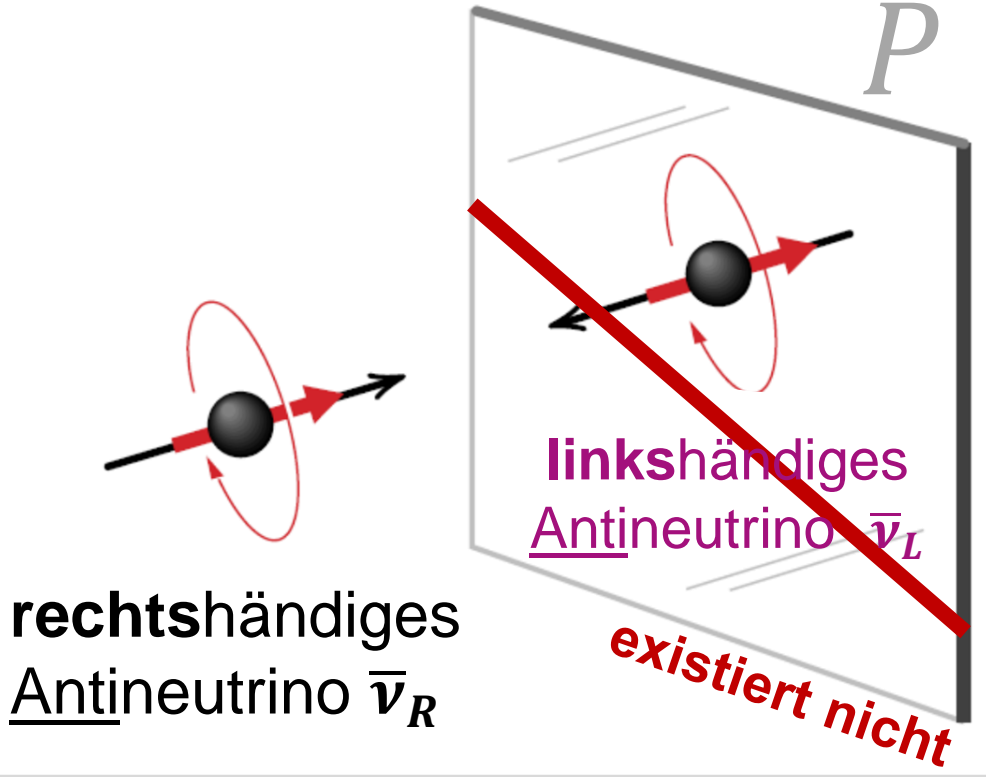
Paritätsverletzung: nur *LH* Neutrinos im *SM*



- Neutrinos: <u>rein</u> linkshändige Teilchen $\nu = \nu_L$
 - SM: linkshändige Neutrinos $\nu = \nu_L$ rechtshändige Antineutrinos $\overline{\nu} = \overline{\nu}_R$
 - linkshändige $\overline{\nu}_L$ bzw. rechtshändige ν_R existieren nicht im Standardmodell (SM)
- Schwache Wechselwirkung besitzt eine Händigkeit:
 - sie **unterscheidet** ob Teilchen linkshändig oder rechtshändig sind



Antineutrino $\overline{\nu}_R$



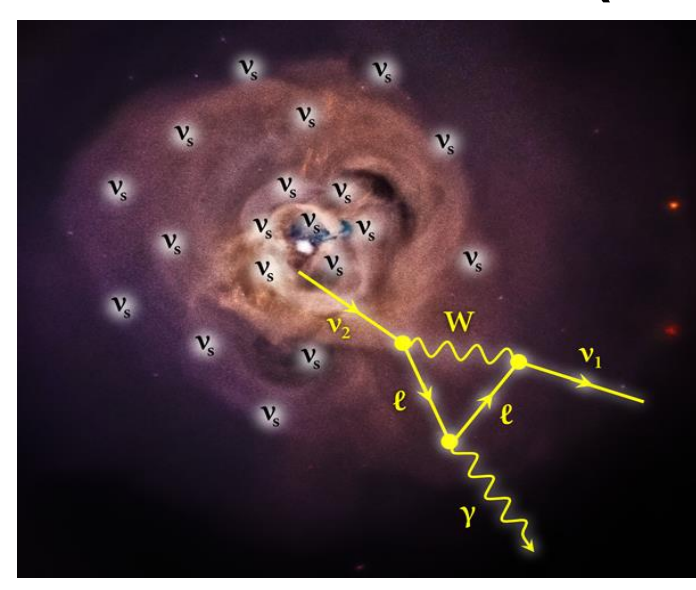
Suche nach 'sterilen' Neutrinos mit KATRIN



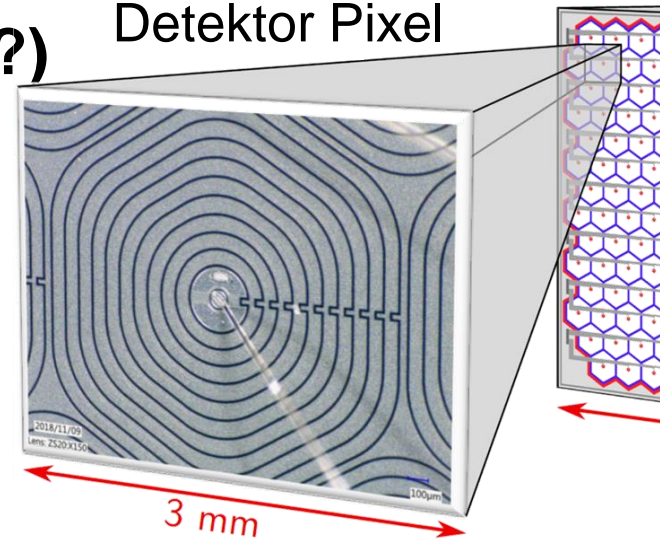
KATRIN sucht nach neuartigen ν –Zuständen

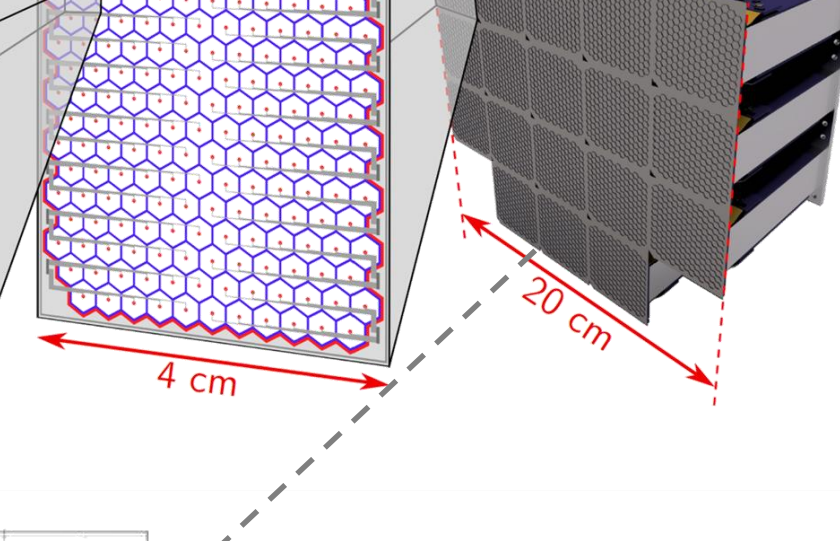
(sterile $\nu's$) im Massenbereich

von eV bis keV (Dunkle Materie?)

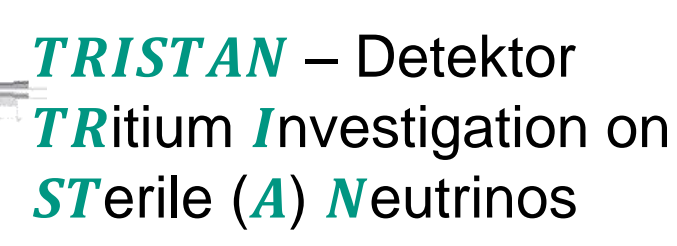


Evidenz via X - Ray Signal?





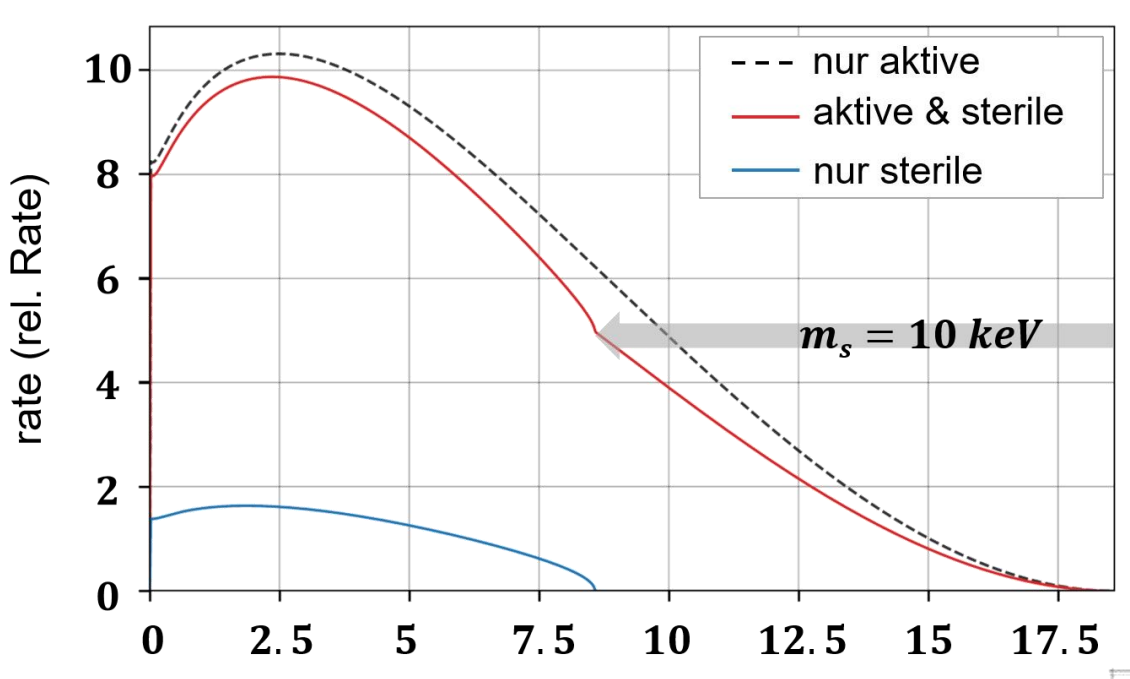
Detektor Modul



Suche nach 'sterilen' Neutrinos mit KATRIN

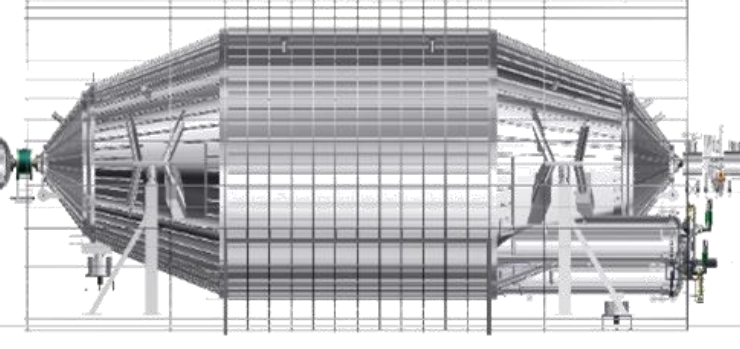


KATRIN sucht nach neuartigen ν –Zuständen





TURNING THE SCREW ON RIGHT-HANDED NEUTRINOS



TRISTAN – Detektor
TRitium Investigation on
STerile (A) Neutrinos

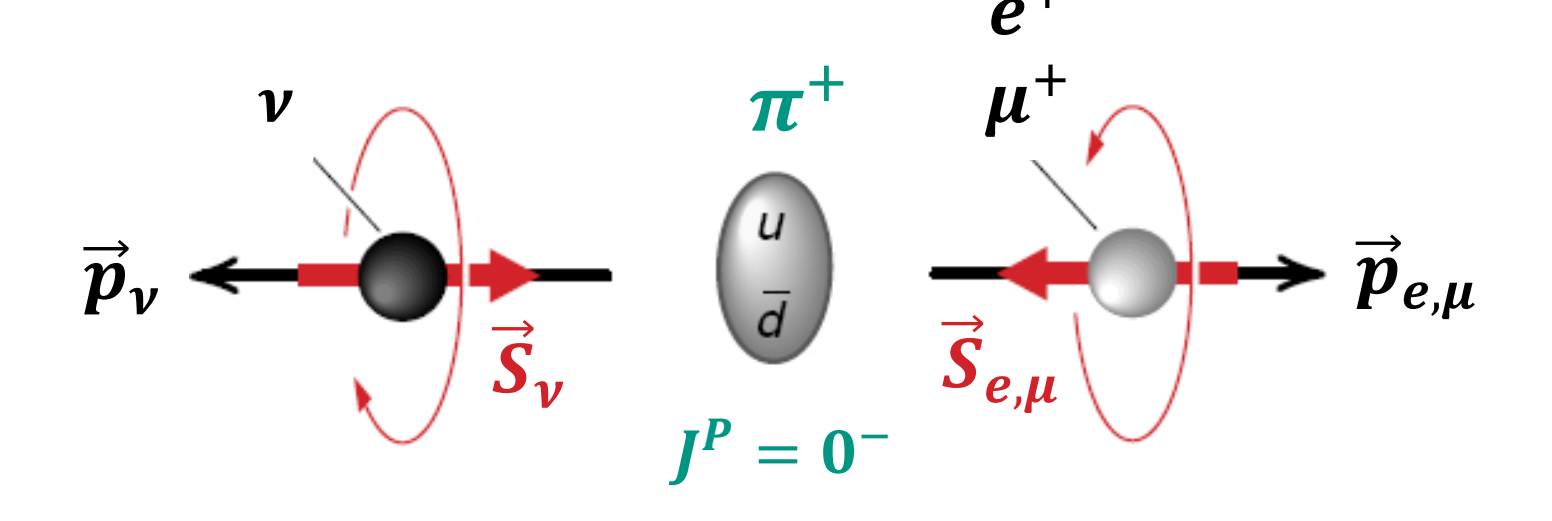
Q: LANL, KIT, CERN

Elektronenergie (keV)

Paritätsverletzung: Pion-Zerfall – in μ^+ bzw. e^+



- Lederman: Verhältnis der Zerfälle in μ^+ bzw. e^+ gibt Aufschluss über Parität
 - pseudoskalares Pion π^+ mit $J^P = \mathbf{0}^-$
 - Zerfallsmoden Pion π^+ : $\pi^+ o \mu^+ + \nu$ $\pi^+ o e^+ + \nu$
 - Neutrino v = LH& ultra-relativistisch, d.h. mit **festgelegter Helizität** $h \cong -1$



LH Neutrino ν

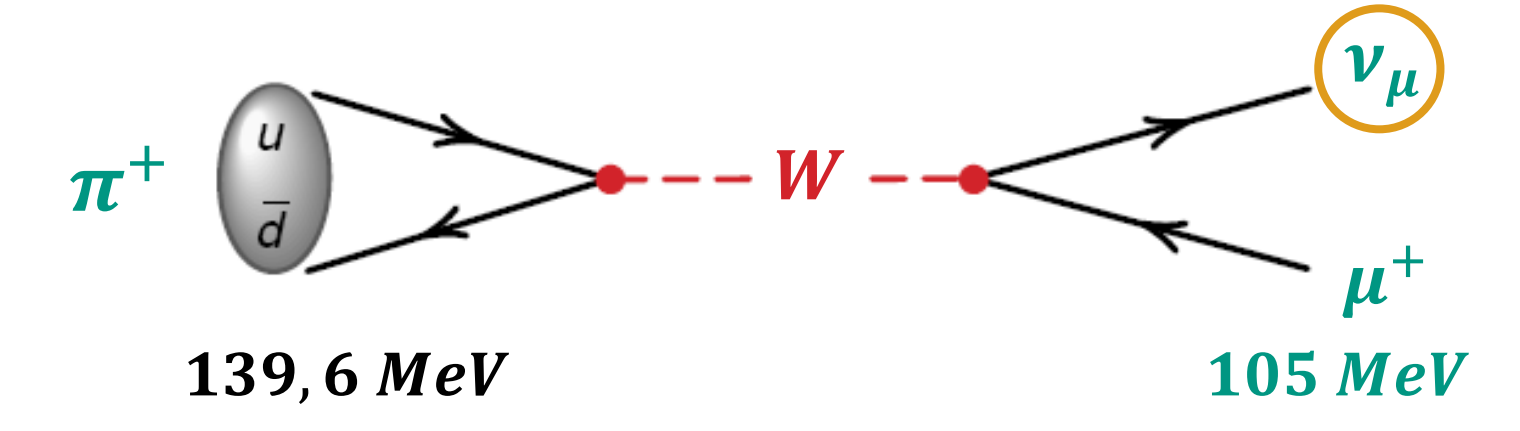
LH Teilchen

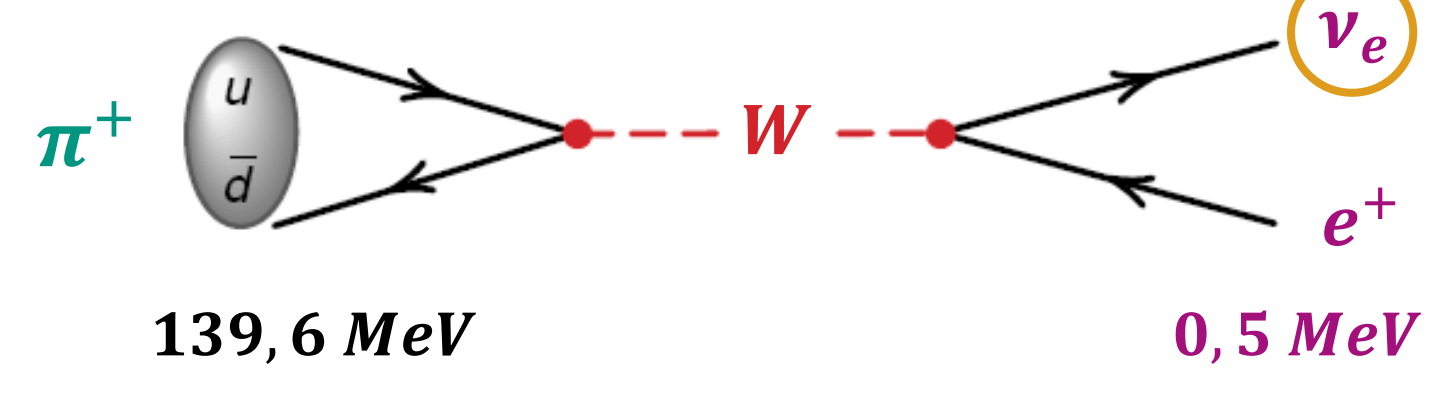
Q: LANL, American IoP

Paritätsverletzung: Pion-Zerfall – in μ^+ bzw. e^+



- Lederman: Verhältnis der Zerfälle in μ^+ bzw. e^+ gibt Aufschluss über Parität
 - pseudoskalares Pion π^+ mit $J^P=0^-$
 - Zerfallsmoden Pion π^+ : $\pi^+ o \mu^+ + \nu$ $\pi^+ o e^+ + \nu$
 - Neutrino ν = LH
 & ultra-relativistisch,
 d.h. mit festgelegter
 Helizität h ≅ −1





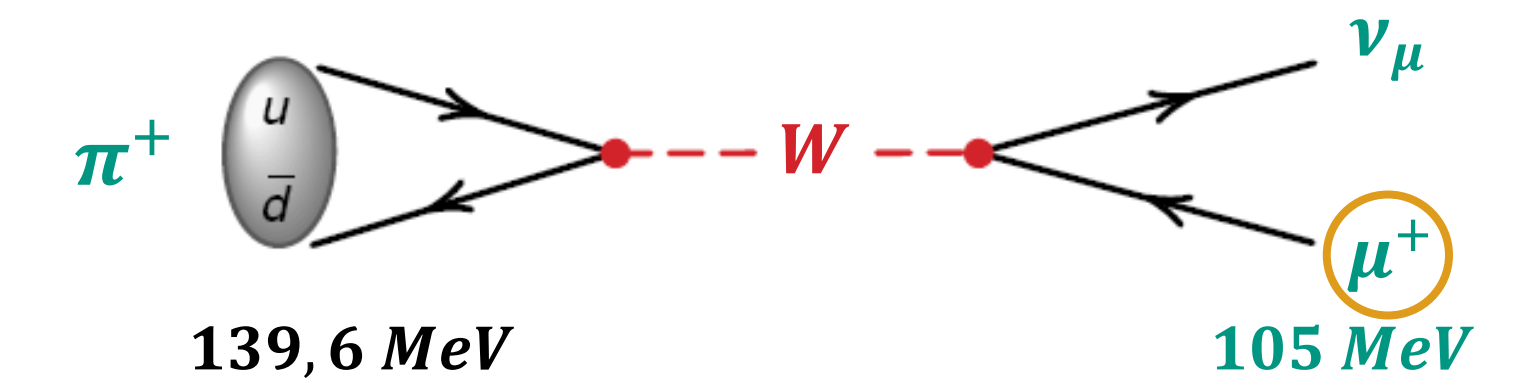
Q: LANL, American IoP

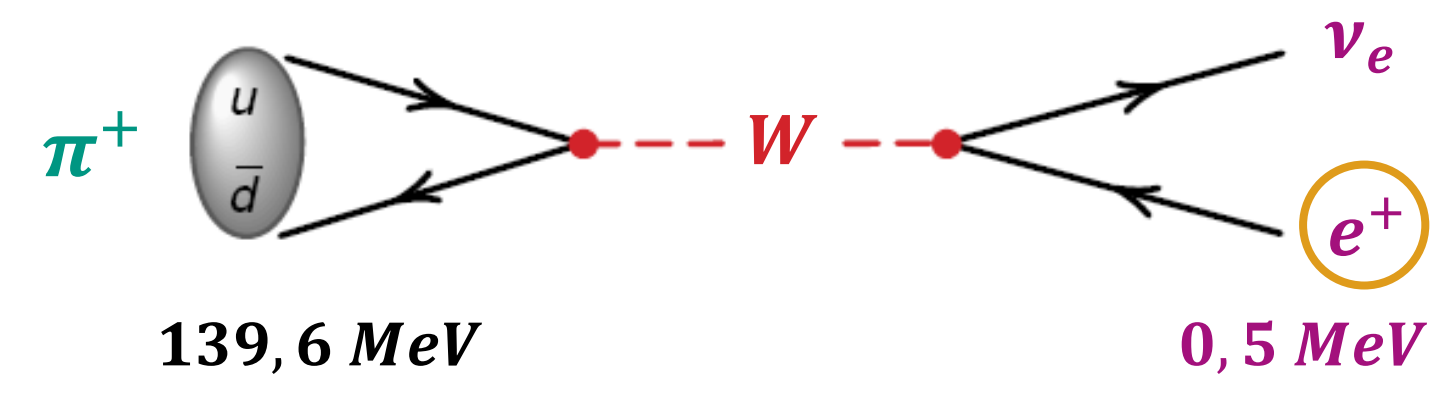
Paritätsverletzung: Pion-Zerfall – in μ^+ bzw. e^+



ultra-relativistisches Neutrino gibt die Helizität des geladenen Leptons vor

- pseudoskalares Pion π^+ mit $J^P = 0^-$
- geladenes Lepton: muss die 'falsche' Helizität h = -1annehmen (da J = 0) (Recap: für μ^+ bzw. e^+ erwartet man jedoch den Wert $h \approx +1$!)





Q: LANL, American IoP

Paritätsverletzung: Pion-Zerfall – in μ^+ bzw. e^+



Helizität des geladenen Leptons: keine Lorentz-invariante Größe

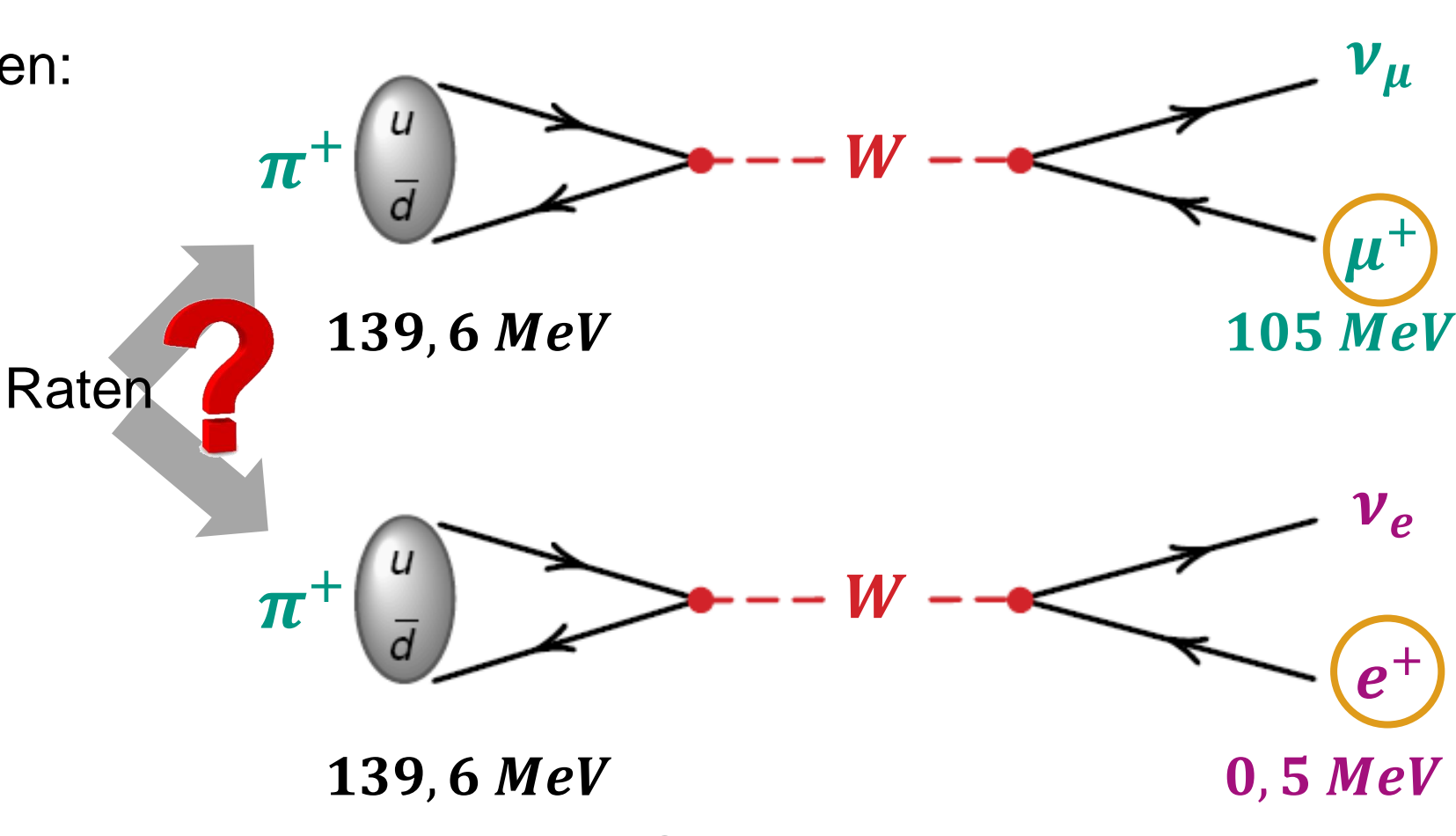
- massebehaftete Teilchen: Helizität $h = \pm v/c$ d.h. abhängig von v(kinet. Energie)

Leptonen (e^-, μ^-) Helizität h = -v/c

Antileptonen (e^+, μ^+)

Helizität h = +v/c

- Raten in μ^+ bzw. e^+ ?



Q: LANL, American IoP

Paritätsverletzung: Pion-Zerfall in Ruhe – in μ^+

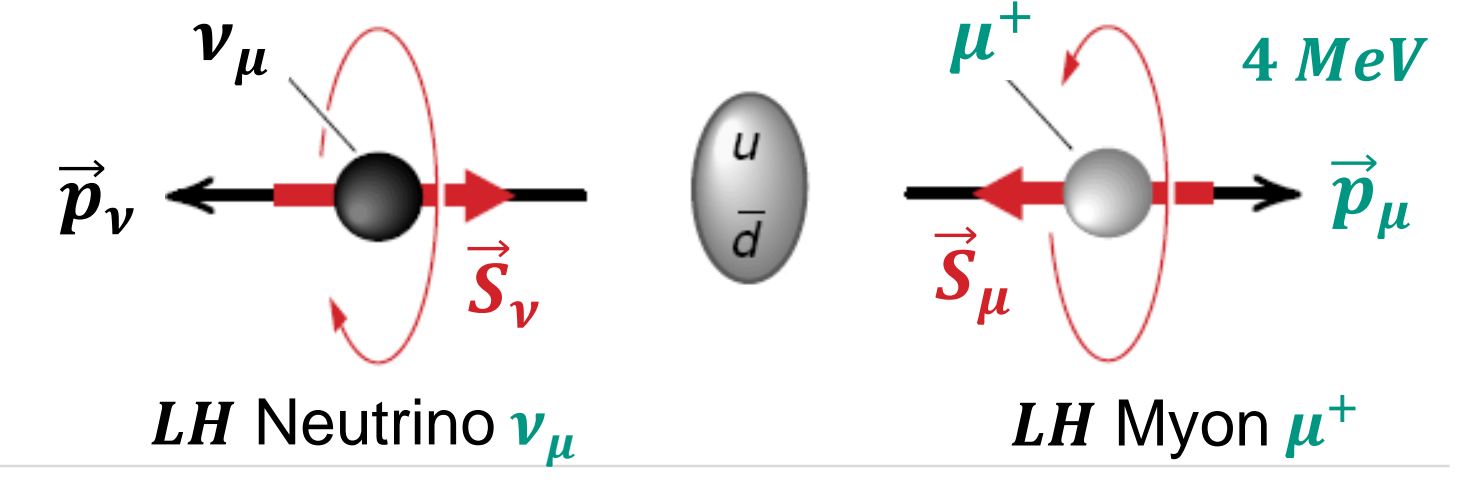


- lacksquare Ausgangszustand $J^P=0^-$, im π^+- Ruhesytem gilt : $\Sigma \, \overrightarrow{p}_i=0$ $\Sigma \, \overrightarrow{S}_i \, 0$
 - Zerfall in schweres Myon mit $m(\mu^+) = 105 \, MeV$
 - 'masseloses' Neutrino: $p_{\nu}=E_{\nu}=29,8~MeV$ LH Zustand
 - schweres μ^+ : v/c klein $p_{\mu}=p_{\nu}=29,8~MeV$ $\Rightarrow E_{\mu}=4~MeV$
 - großer Anteil von μ^+ mit "falscher" (*LH*) Helizität

139,6 MeV

 π^+

105 *MeV*



Paritätsverletzung: Pion-Zerfall in Ruhe – in e^+

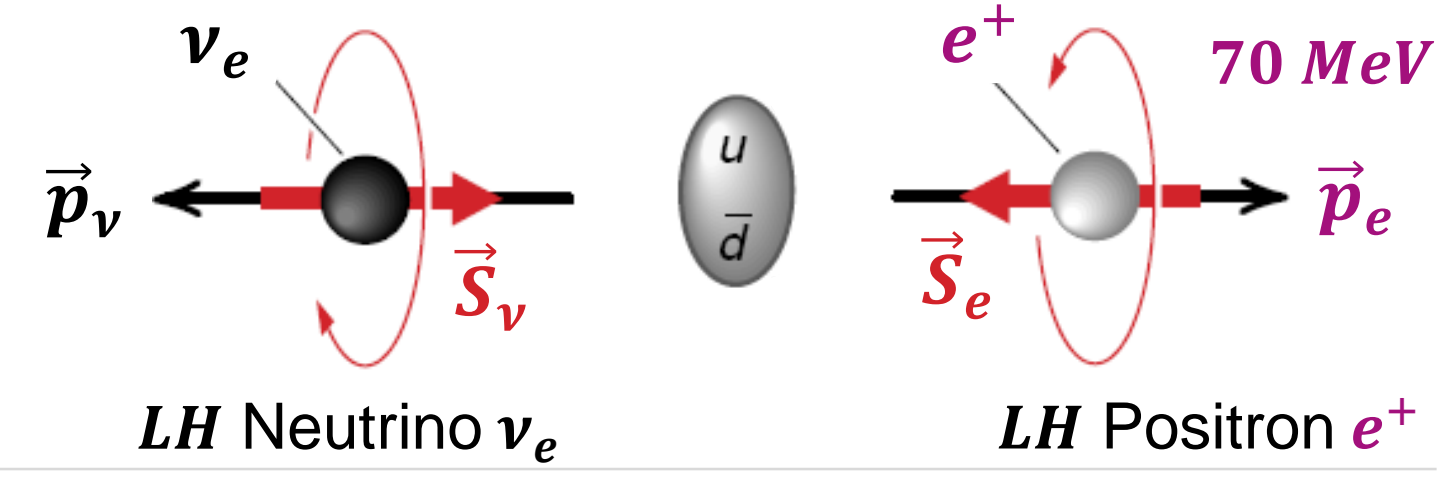


- lacksquare Ausgangszustand $J^P=0^-$, im π^+- Ruhesytem gilt : $\Sigma \, \overrightarrow{p}_i=0$ $\Sigma \, \overrightarrow{S}_i \, 0$
 - Zerfall in **leichtes** Positron mit $m(e^+) = 0, 5 MeV$
 - 'masseloses' Neutrino: $p_{
 u} = E_{
 u} \approx 70 \ MeV$ LH Zustand
 - leichtes e^+ : v/c groß $p_e = p_v \approx 70~MeV$ $\Rightarrow E_e \approx 70~MeV$
 - kleiner Anteil von e^+ mit "falscher" (LH) Helizität

139,6 MeV

$$\pi^+$$

0, **5** *MeV*



Paritätsverletzung beim Pion-Zerfall



Pionzerfall in Ruhe: man beobachtet und erwartet eine starke Bevorzugung des Zerfallskanals $\pi^+ \to \mu^+ + \nu$ gegenüber $\pi^+ \to e^+ + \nu$

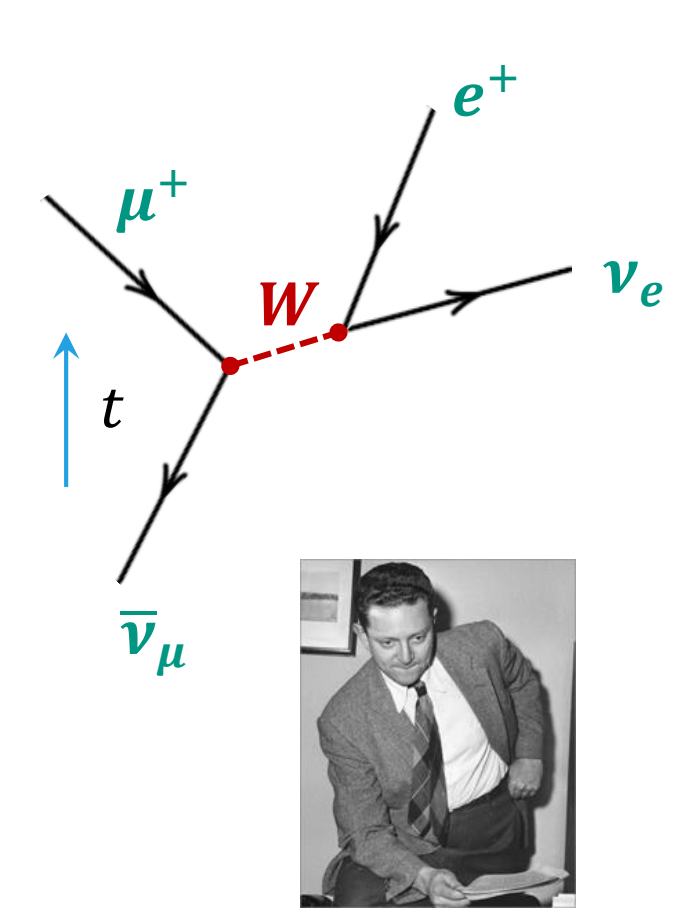
$$R_{theo} = rac{\Gamma(\pi^+ o e^+ +
u_e)}{\Gamma(\pi^+ o \mu^+ +
u_\mu)} = rac{m_e^2}{m_\mu^2} \cdot \left(rac{m_\pi^2 - m_e^2}{m_\pi^2 - m_\mu^2}
ight)^2 = 1,275 \cdot 10^{-4}$$

$$R_{exp} = (1,267 \pm 0,023) \cdot 10^{-4}$$

- Pionzerfall in Ruhe: maximale Paritätsverletzung
 - gute Übereinstimmung von Theorie & Experiment
 - Neutrinos ausschließlich LH, Antineutrinos ausschließlich RH

Paritätsverletzung, nachgefragt von Leon

- Was passiert mit P beim nachfolgenden μ^+ Zerfall?
 - A) die Parität ist nur beim 2-Körper-Zerfall des Pions verletzt, beim 3-Körper Zerfall des Myons jedoch nicht, da andere Kinematik!
 - B) die Parität beim Zerfall des μ^+ nur zu einem kleineren Teil verletzt, da die Zerfallsenergie (105 MeV) kleiner ist als beim Zerfall des π^+
 - C) die Parität beim Zerfall des μ^+ ist wiederum maximal verletzt, genauso wie beim Zerfall des π^+ (schwache Wechselwirkung)



Leon Lederman & Team

⊋: American IOP, nobelprize, pinteres

Paritätsverletzung: Zirkularpolarisation Gammas



■ Team 3: Test der Paritäts-Verletzung über zirkular polarisierte Gammas

VOLUME 104. NUMBER 1

OCTOBER 1, 1956

Question of Parity Conservation in Weak Interactions*

T. D. LEE, Columbia University, New York, New York







Herwig Schopper* & Team

...wir messen die Zirkular-Polarisation von Gammas!

. . .

März 1957

*erster Leiter des *ETP* in Karlsruhe später: *CERN* Generaldirektor







Paritätsverletzung: Zirkularpolarisation Gammas



■ Team '23: Test der Paritäts-Verletzung über zirkular polarisierte Gammas



6.6.2023





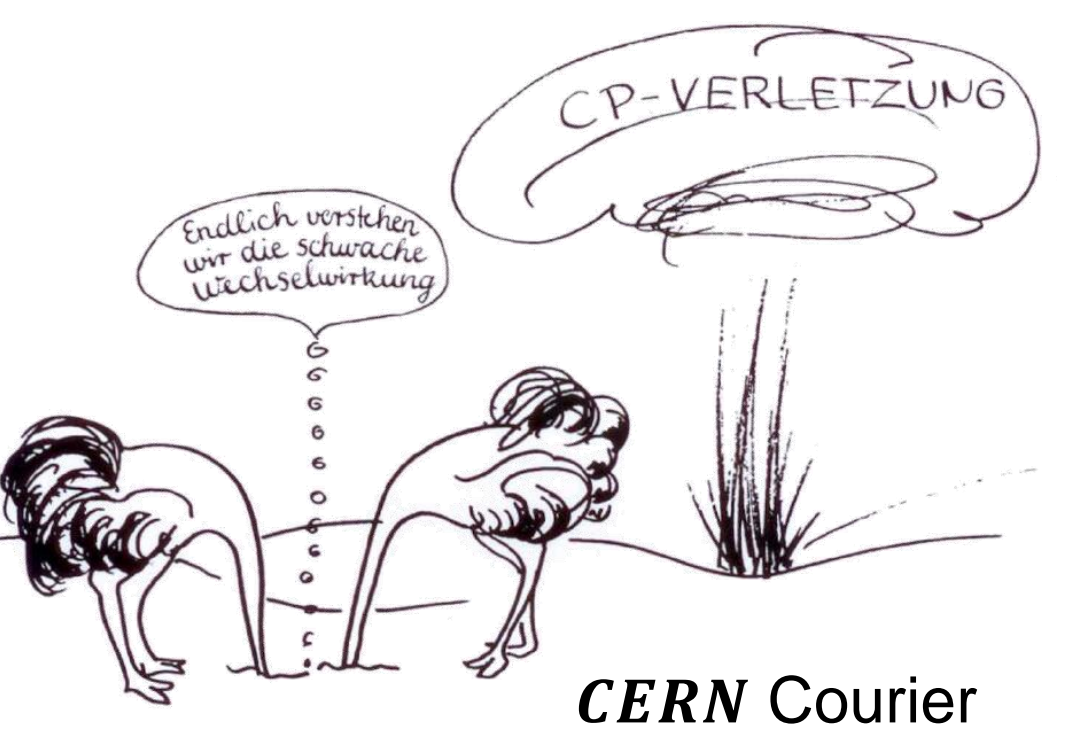
- von longitudinal polarisierten
 Elektronen zu zirkular
 polarisierten Gammas*
- Original-Herwig-Schopper-Apparatur:
 <u>nur hier im F Praktikum</u>
- Paritätsverletzung selber nachmessen!

Mod. Ex. Phys. III VL 12 Exp. Teilchenphysik - ETP

^{*}eines der von Lee & Yang diskutierten Experimente, das damals als <u>undurchführbar</u> angesehen wurde



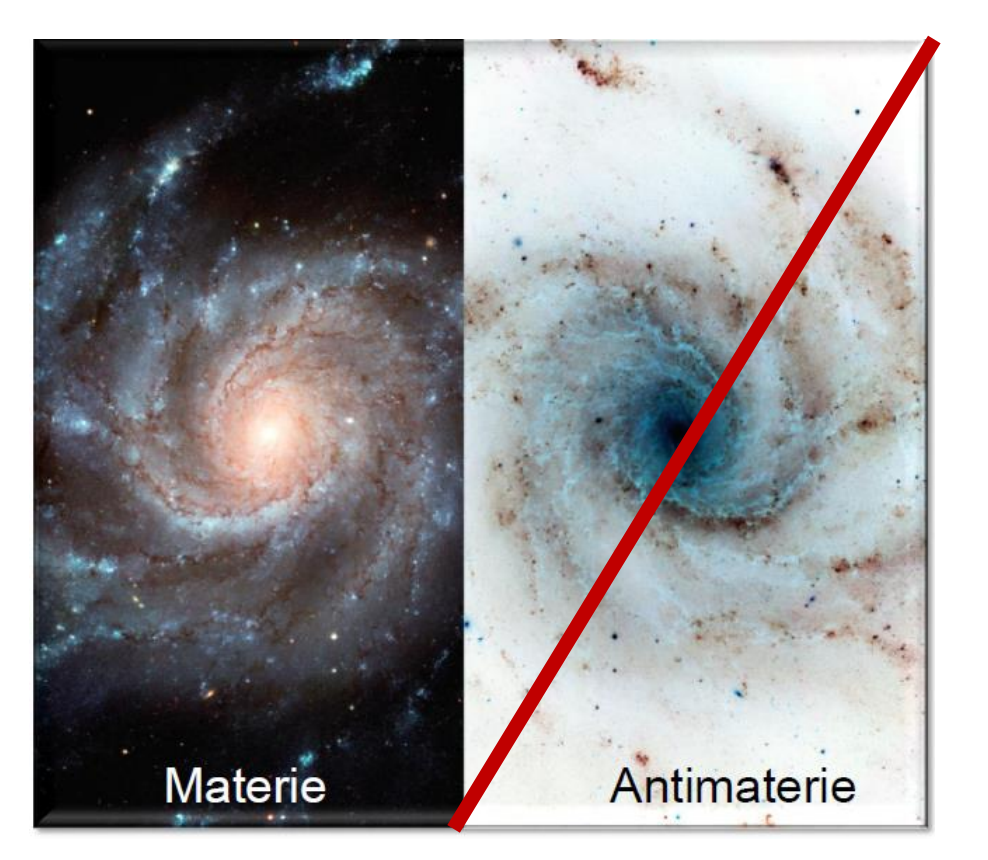




CP – VERLETZUNG: SELTSAME KAONEN

Mod. Ex. Phys. III VL 12 Exp. Teilchenphysik - ETP

- Universum zeigt Baryon-Asymmetrie: nur Materie, keine Antimaterie
 - drei Sacharov-Kriterien für eine erfolgreiche Baryogenese:



- 1. Verletzung der Baryonenzahlerhaltung*
- 2. Verletzung der CP -Invarianz
- 3. kein thermodynamisches Gleichgewicht



Andrej Dmitrijewisch Sacharov (1921-1989)

1967: Baryon-Asymmetrie

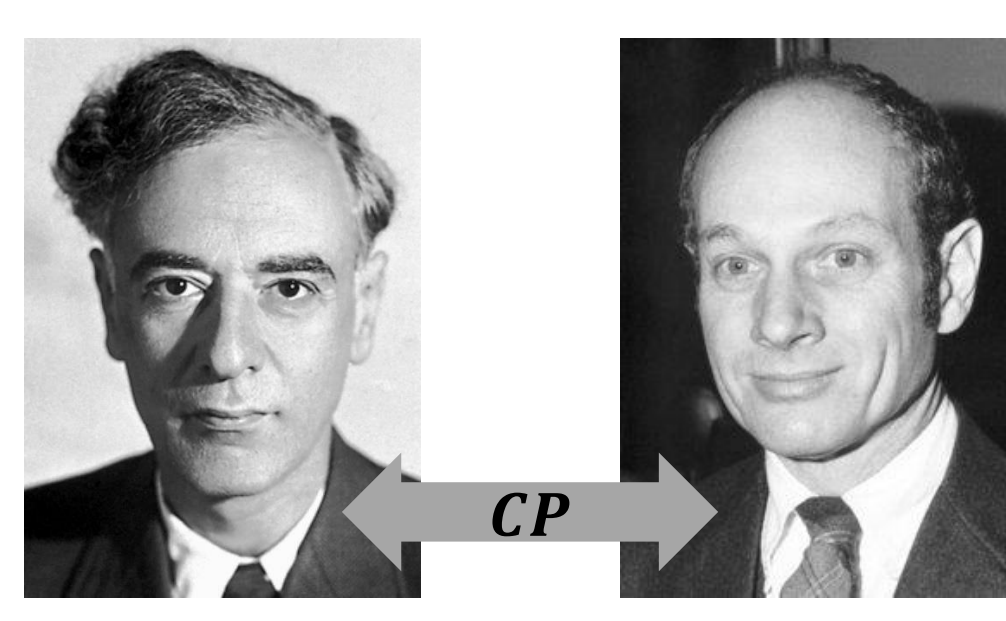
spektrum, wikimedia

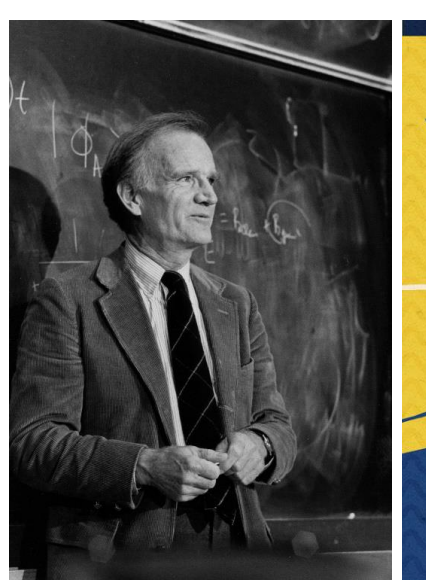
*s. VL10 Mod. Ex. Phys. III VL 12 Exp. Teilchenphysik - ETP

Landau: *CP* – eine Symmetrie der Natur?



- Lev Landau postuliert zunächst, dass die CP Symmetrie erhalten ist!
 - Landau: Physik invariant, wenn Kombination von P Operation (Spiegelbild) & Ladungskonjugation C (Teilchen-Antiteilchen) erfolgt: CP Symmetrie
 - *Cronin & Fitch* (1964): *CP*-Symmetrie ist verletzt im System der neutralen Kaonen durch die schwache Wechselwirkung!





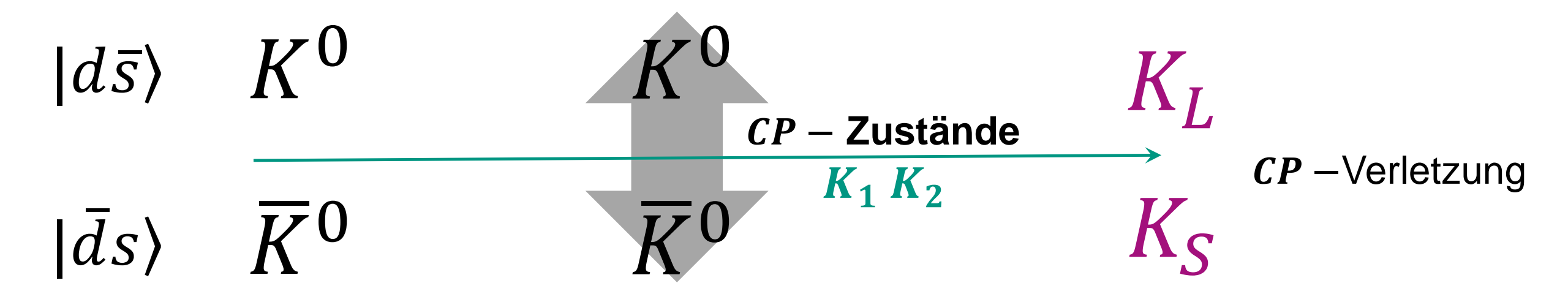


Q: nobelprize, symmetry magazi

Seltsame Kaonen: Mischungseffekte



■ Grundbeobachtung: Teilchen mit identischen Quantenzahlen können bei der Propagation mischen! Zustände der starken bzw. schwachen Ww.



Erzeugung

starke Wechselwirkung **Propagation**

schwache Wechselwirkung Zerfall

schwache Wechselwirkung

Neutrale Kaonen: Grundlagen



- ein sehr wichtiges System in der Teilchenphysik, nicht nur wegen CP!
 - neutrale Kaonen als $q\overline{q}$ Systeme mit Strangeness

$$K^0 | d \bar{s} \rangle$$
 Teilchen Antiteilchen $\bar{K}^0 | \bar{d} s \rangle$

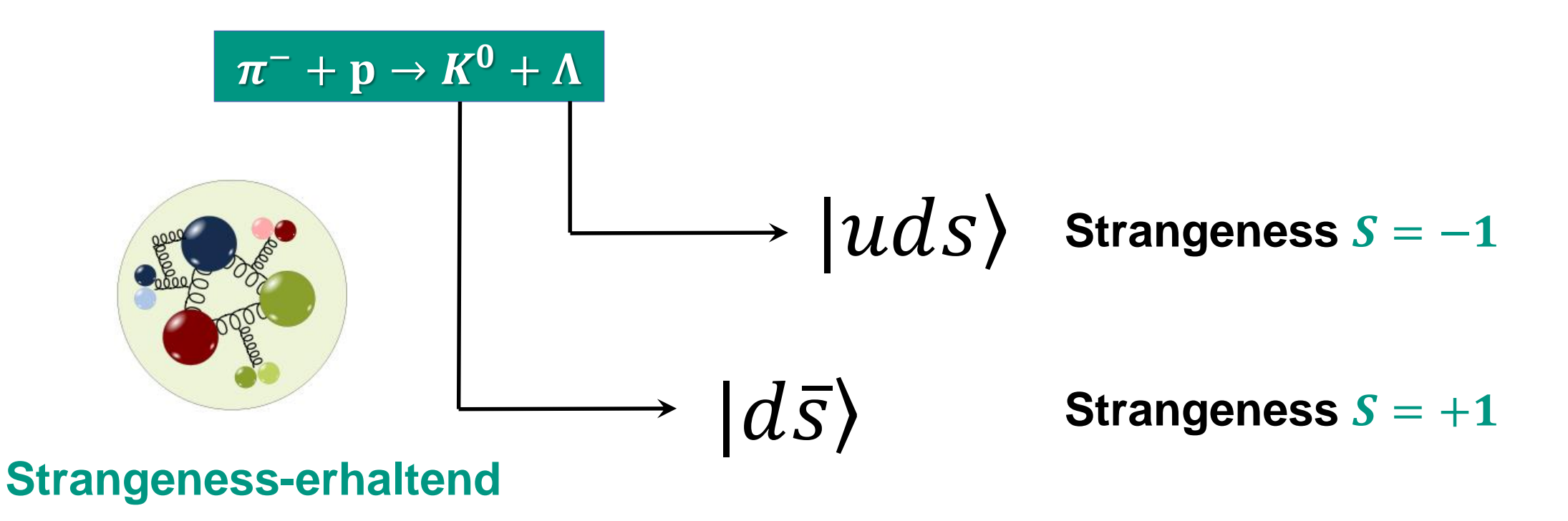
- Masse: 497,6 MeV, instabile Zustände mit Lebensdauern $\tau: \sim 10^{-10} \ s \ (K_S)$, $\tau: \sim 5 \cdot 10^{-8} \ s \ (K_L)$
- Erzeugung über starke Wechselwirkung (Erhaltung der Strangeness)
- Zerfall über schwache Wechselwirkung (Verletzung der Strangeness)

Neutrale Kaonen: Erzeugung

6.6.2023



- **Erzeugung** nur über starke Wechselwirkung: nur Paare mit S = +1 S = -1
 - Beispiel: Wechselwirkung eines energetischen Pions mit Proton

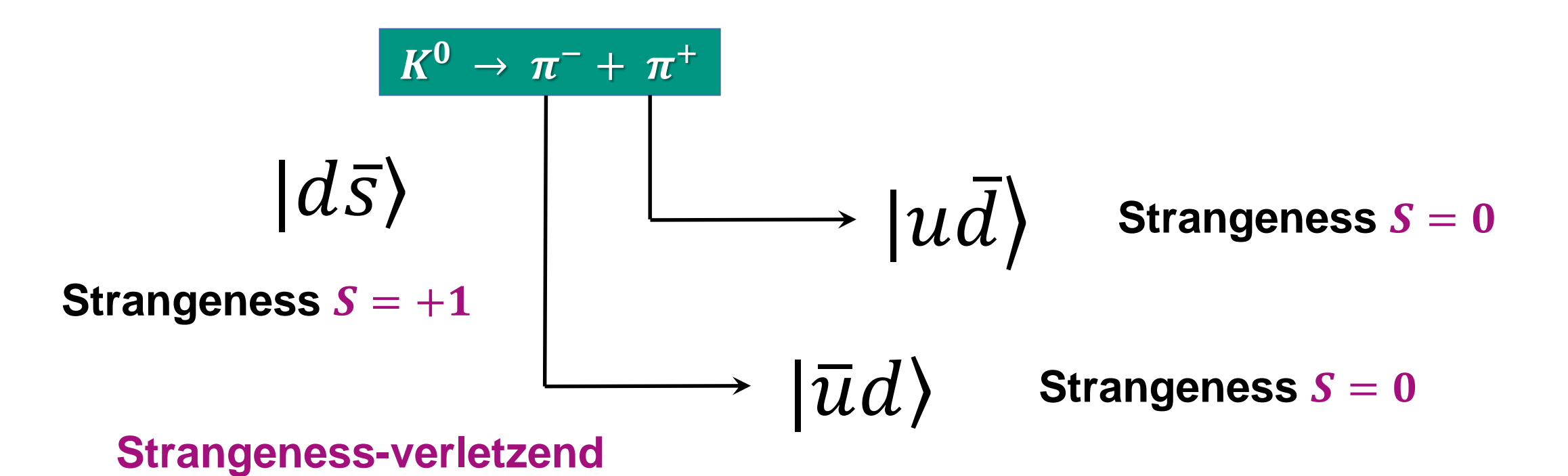


Mod. Ex. Phys. III VL 12 Exp. Teilchenphysik - ETP

Neutrale Kaonen: Zerfall



- **Zerfall** nur über schwache Wechselwirkung: Strangeness $\Delta S = \pm 1$
 - Beispiel: Zerfall eines Kaons in 2 Pionen

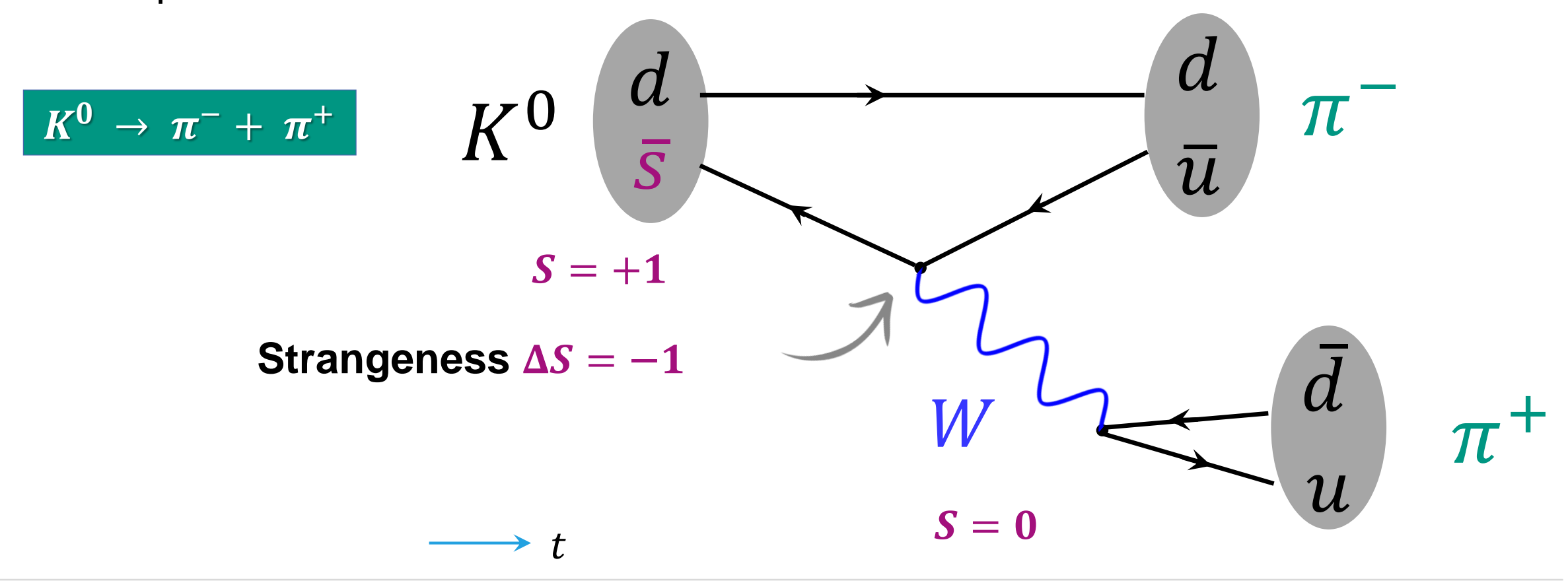


Mod. Ex. Phys. III VL 12 Exp. Teilchenphysik - ETP

Neutrale Kaonen: Zerfall



- **Zerfall** nur über schwache Wechselwirkung: Strangeness $\Delta S = \pm 1$
 - Beispiel: Zerfall eines Kaons in 2 Pionen



Neutrale Kaonen: Zerfallseigenschaften



- **Zerfall nur über schwache Wechselwirkung: Strangeness** $\Delta S = \pm 1$
 - Kaonen können (kinematisch) in 2 Pionen oder 3 Pionen zerfallen
 - relativ lange Zerfallszeiten ($\tau \sim 10^{-8} \dots 10^{-10} s$): Propagationseffekte wichtig!
 - Strangeness-ändernde Zerfälle $\Delta S = \pm 1$ (Übergänge $s \to u$ bzw. $\overline{s} \to \overline{u}$)
- System der neutralen Kaonen besonders interessant
 - ein "ideales Labor" zum Studium der Eigenschaften der schwachen Ww.
 - zentrale Frage: ist *CP* **Symmetrie im System neutraler Kaonen** erhalten?

Mod. Ex. Phys. III VL 12 Exp. Teilchenphysik - ETP

Neutrale Kaonen: Mesonen mit Strangeness



■ Neutrale Kaonen und *P, C* und *CP* — Eigenwerte

 $K^0 = |d\overline{s}\rangle$

- interne Parität P

$$P(q\overline{q}) = -1^{\ell+1} \text{ mit } \ell = 0$$

$$\overline{K}^0 = |\overline{d}s\rangle$$

$$P |K^0\rangle = -|K^0\rangle$$

$$m{P}\ket{ar{K}^0} = -\ket{ar{K}^0}$$

- Ladungskonjugation C

$$C(q\overline{q}) = -1^{\ell+s} \text{ mit } \ell = s = 0$$

$$C |K^0\rangle = -|\overline{K}^0\rangle$$

$$C |\overline{K}^0\rangle = -|K^0\rangle$$

 $K^0 \& \overline{K}^0$ sind keine C — Eigenzustände

- Parität & Ladungskonjugation CP

$$CP |K^0\rangle = |\overline{K}^0\rangle$$

$$CP | \overline{K}^0 \rangle = | K^0 \rangle$$

 $K^0 \& \overline{K}^0$ sind keine CP —Eigenzustände

Neutrale Kaonen: CP – Eigenzustände



- \blacksquare (zunächst rein) formale Definition von CP Eigenzuständen $K_1 \& K_2$
 - bilde Linearkombinationen $K_1 \& K_2$ mit definierten CP Eigenwerten

$$|K_1\rangle = \frac{1}{\sqrt{2}} \cdot \left(|K^0\rangle + |\overline{K}^0\rangle \right)$$

$$|K_1\rangle = \frac{1}{\sqrt{2}} \cdot \left(|K^0\rangle + |\overline{K}^0\rangle \right)$$
 $|K_2\rangle = \frac{1}{\sqrt{2}} \cdot \left(|K^0\rangle - |\overline{K}^0\rangle \right)$ Mischung von $K^0 \otimes \overline{K}^0$

- $K_1 \& K_2$ sind Mischungen von $K^0 \& \overline{K}^0$, die CP - Eigenzustände darstellen

$$CP |K_1\rangle = +|K_1\rangle$$

$$CP |K_2\rangle = -|K_2\rangle$$

Eigenwerte
$$= +1, -1$$

- K₁ & K₂ sind keine Eigenzustände der starken Wechselwirkung & besitzen auch keine exakt definierten Massen!

Neutrale Kaonen: starke & CP – Eigenzustände



Kaon-Zustände: K^0 und \overline{K}^0 sind orthogonale Superpositionen von K_1 und K_2

$$|K^{0}\rangle = \frac{1}{\sqrt{2}} \cdot (|K_{1}\rangle + |K_{2}\rangle)$$
 $|\overline{K}^{0}\rangle = \frac{1}{\sqrt{2}} \cdot (|K_{1}\rangle - |K_{2}\rangle)$

$$|\overline{K}^0\rangle = \frac{1}{\sqrt{2}} \cdot (|K_1\rangle - |K_2\rangle)$$

- Zustände K^0 und \overline{K}^0 sind Eigenzustände der starken Wechselwirkung mit wohldefinierten, identischen Massen (CPT - Theorem)
- Zustände K_1 und K_2 entstehen bei der Propagation von Kaonen durch schwache Wechselwirkung über die Mischung von K^0 und \overline{K}^0

⇒ neue Zustände mit unterschiedlicher

Masse
Lebensdauer